

Algorithmique pour l'évolution des interactions géniques

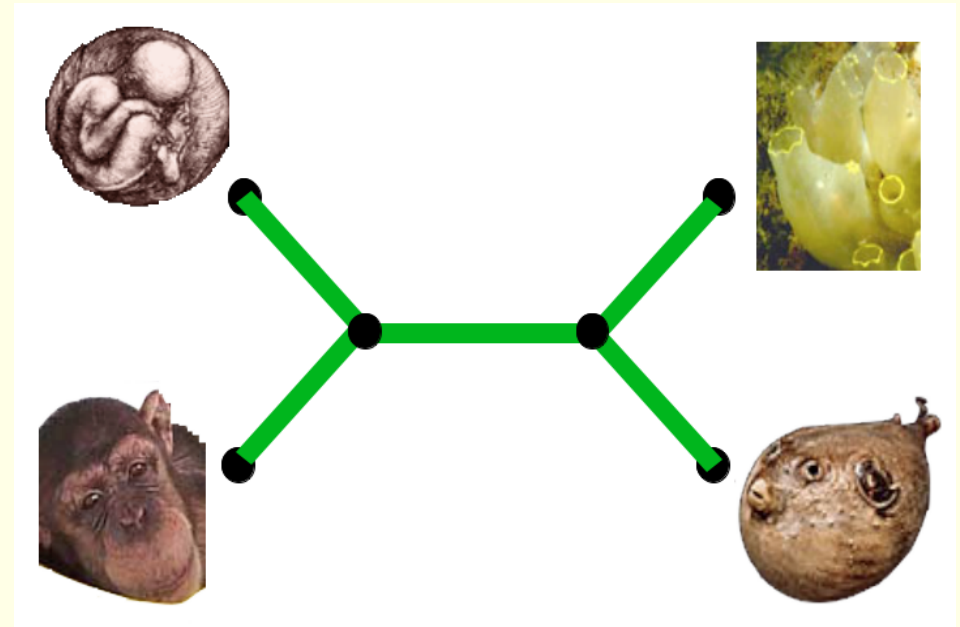
DeCo et ARt-DeCo

Sèverine Bérard

-
- Introduction
 - Modèle
 - Démarche
 - Validation
 - Utilisation de DeCo pour l'assemblage : ARt-DeCo

Homme	A C GTCGGTTGCCGAC
Chimpanzé	A C GTCGGTTGCCGAC
Fugu	A T GTCGGGTGCCGAC
Cione	A A GTCGCGTGCCGAC

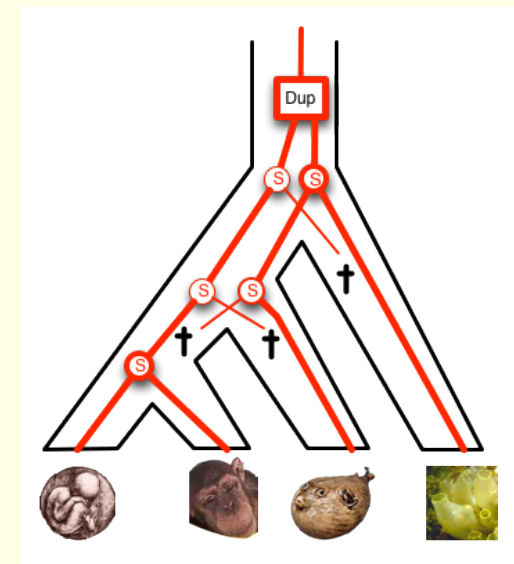
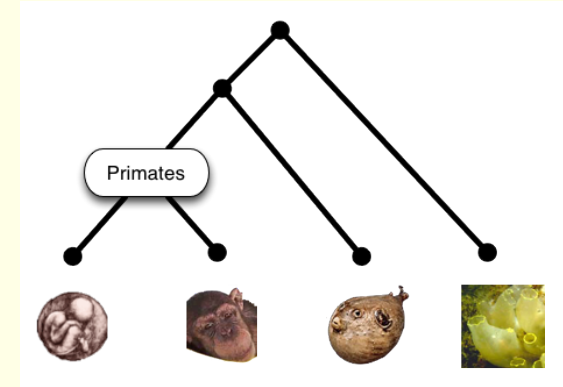
≈ 1980



Événement : Substitutions

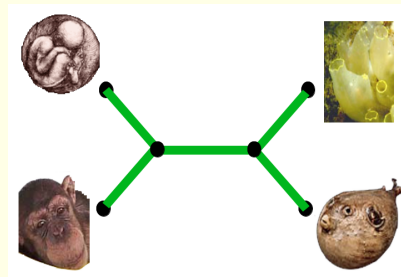
Données :

- Arbre des espèces
- Arbres de gènes racinés



Homme	ACGTGGTTGCCGAC
Chimpanzé	ACGTGGTTGCCGAC
Fugu	ATGTGGGTGCCGAC
Cione	AAGTCGCGTGCCGAC

≈ 1980



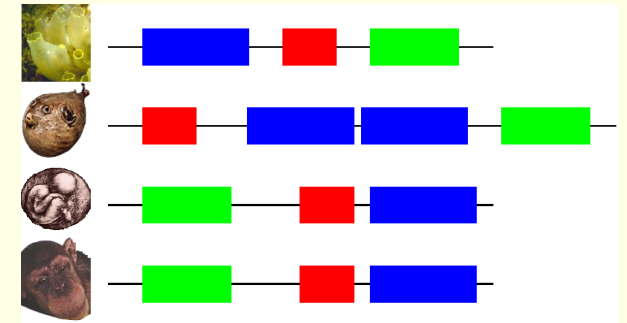
≈ 2000



Événements : Substitutions

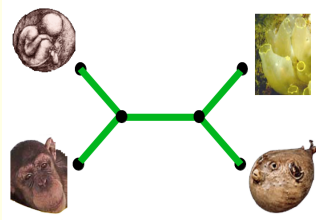
+ duplications, pertes

- Utilisation des adjacences de gènes
- Adjacence de gènes = 2 gènes voisins sur le génome

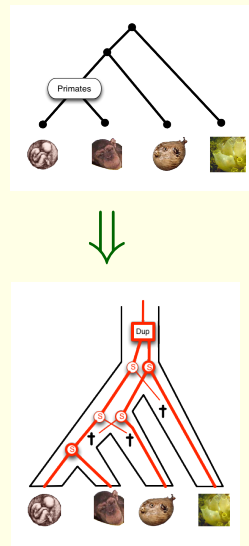


Homme	A	C	G	T	C	G	T	T	C	C	G	A	C
himanzé	A	C	G	T	C	G	T	T	C	C	G	A	C
Fugu	A	T	G	T	C	G	G	T	T	C	C	G	A
Cione	A	A	G	T	C	G	C	T	T	C	C	G	A

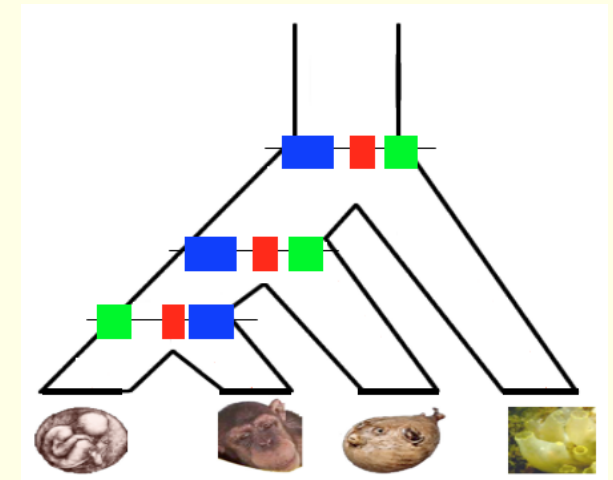
≈ 1980



≈ 2000



2012



Événements :
Substitutions

+ duplications,
pertes

+ réarrangements

- Stage de M2R Informatique Coralie Gallien *jan* → *sept 2011*
donne lieu à DeCo
Encadrement : Sèverine Bérard et Éric Tannier
- Preuve, codage et écriture de l'article *sept 2011* → *juin 2012*
- Parution de l'article *sept 2012*

BIOINFORMATICS

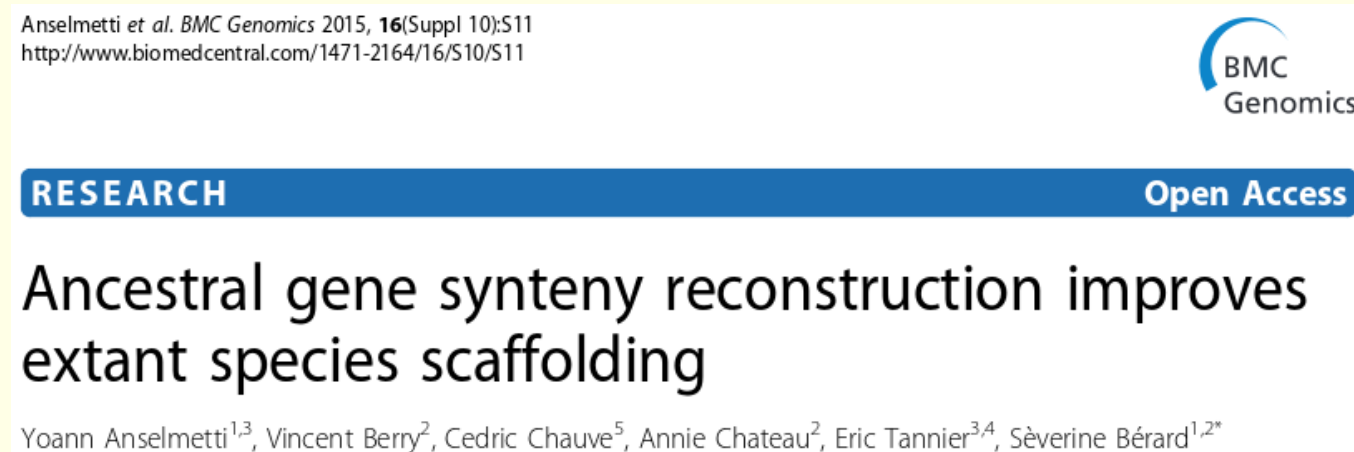
Vol. 28 ECCB 2012, pages i382–i388
doi:10.1093/bioinformatics/bts374

Evolution of gene neighborhoods within reconciled phylogenies

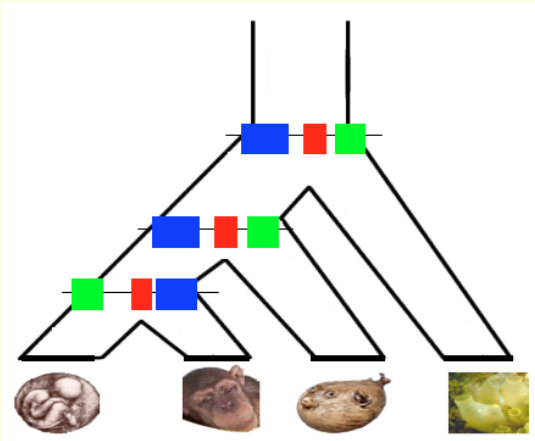
Sèverine Bérard^{1,2,*}, Coralie Gallien¹, Bastien Boussau^{3,4}, Gergely J. Szöllősi³, Vincent Daubin³ and Eric Tannier^{3,5,*}

- Stage de M2R BCD Pierre-Antoine Jean *mars* → *sept 2013*
Algorithmique pour l'évolution des interactions géniques
Encadrement : Vincent Berry et Annie Chateau (ÉT, SB)

- Stage de M2R BCD Yoann Anselmetti *mars* → *sept* 2014
Reconstruction de l'histoire évolutive des génomes :
réconciliation et reconstruction des relations ancestrales
Encadrement : *SB, Vincent Berry, Annie Chateau* et *ÉT*
- Parution de l'article *oct* 2015

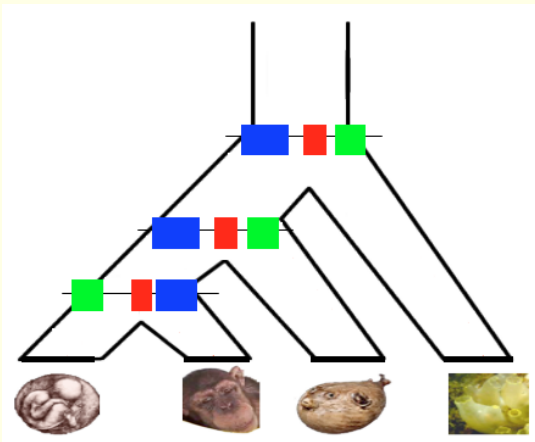


- Thèse Yoann Anselmetti (ISE-M - Montpellier) *oct* 2014 → 17
Assemblage et évolution de la structure de génomes anciens et actuels
Encadrement : *Sèverine Bérard* et *Éric Tannier*



Objectifs

- Retracer l'histoire évolutive de relations entre gènes
- **Adjacences** : estimer les positions relatives des gènes ancestraux

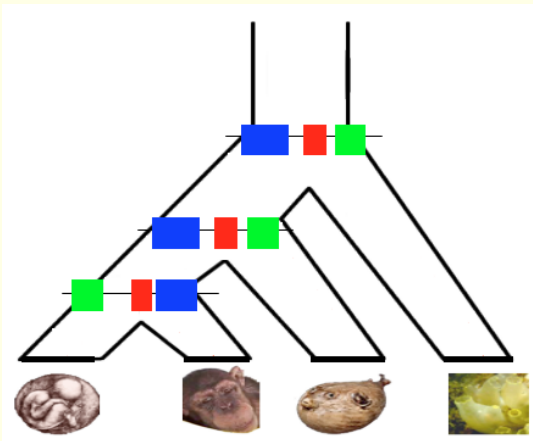


Objectifs

- Retracer l'histoire évolutive de relations entre gènes
- **Adjacences** : estimer les positions relatives des gènes ancestraux

Principes

- **Parcimonie** : $\min(\# \text{gains d'adjacence} + \# \text{cassures d'adjacence})$

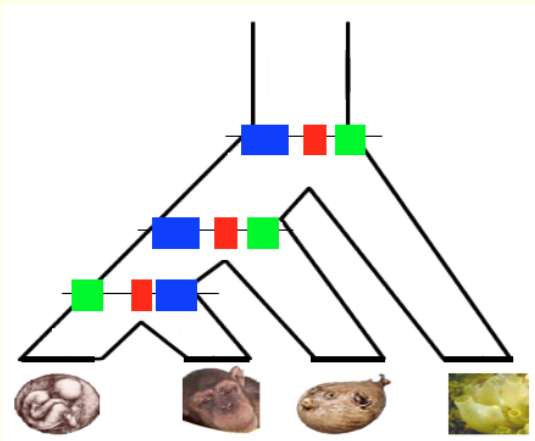


Objectifs

- Retracer l'histoire évolutive de relations entre gènes
- **Adjacences** : estimer les positions relatives des gènes ancestraux

Principes

- **Parcimonie** : $\min(\# \text{gains d'adjacence} + \# \text{cassures d'adjacence})$
- Algorithme exact



Objectifs

- Retracer l'histoire évolutive de relations entre gènes
- **Adjacences** : estimer les positions relatives des gènes ancestraux

Principes

- **Parcimonie** : $\min(\# \text{gains d'adjacence} + \# \text{cassures d'adjacence})$
- Algorithme exact
- Programmation dynamique, complexité polynomiale

-
- Introduction
 - **Modèle**
 - Démarche
 - Validation
 - Utilisation de DeCo pour l'assemblage : ARt-DeCo

- **Adjacences** : Deux gènes A_1 et A_2 sont adjacents s'ils se trouvent sur le même chromosome et qu'il n'y a pas de gène entre eux
On note A_1A_2 ou A_2A_1 (symétrie) ou encore $A_1 \sim A_2$

- **Adjacences** : Deux gènes A_1 et A_2 sont adjacents s'ils se trouvent sur le même chromosome et qu'il n'y a pas de gène entre eux
On note A_1A_2 ou A_2A_1 (symétrie) ou encore $A_1 \sim A_2$
- **Arbre phylogénétique** : graphe connexe non cyclique, orienté

- **Adjacences** : Deux gènes A_1 et A_2 sont adjacents s'ils se trouvent sur le même chromosome et qu'il n'y a pas de gène entre eux
On note A_1A_2 ou A_2A_1 (symétrie) ou encore $A_1 \sim A_2$
- **Arbre phylogénétique** : graphe connexe non cyclique, orienté
 - Arbre d'espèces
 - Arbre de gènes
 - Arbre d'adjacences

- **Adjacences** : Deux gènes A_1 et A_2 sont adjacents s'ils se trouvent sur le même chromosome et qu'il n'y a pas de gène entre eux
On note A_1A_2 ou A_2A_1 (symétrie) ou encore $A_1 \sim A_2$
- **Arbre phylogénétique** : graphe connexe non cyclique, orienté
 - Arbre d'espèces
 - Arbre de gènes
 - Arbre d'adjacences
- **Forêt** : ensemble d'arbres

- **Adjacences** : Deux gènes A_1 et A_2 sont adjacents s'ils se trouvent sur le même chromosome et qu'il n'y a pas de gène entre eux
On note A_1A_2 ou A_2A_1 (symétrie) ou encore $A_1 \sim A_2$
- **Arbre phylogénétique** : graphe connexe non cyclique, orienté
 - Arbre d'espèces
 - Arbre de gènes
 - Arbre d'adjacences
- **Forêt** : ensemble d'arbres
- Pour un nœud n , $S(n)$ est son espèce, $E(n)$ l'événement associé

- Sur les espèces :
 - Spéciation (*Spec*) ●

- Sur les espèces :
 - Spéciation (*Spec*) ●
- Sur les gènes :
 - Duplication de gène (*GDup*) ■
 - Perte de gène (*GLos*) ✗

- Sur les espèces :
 - Spéciation (*Spec*) ●
- Sur les gènes :
 - Duplication de gène (*GDup*) ■
 - Perte de gène (*GLos*) ✕
- Sur les adjacences
 - Duplication d'adjacence (*ADup*) □
 - Perte d'adjacence (*ALos*) ✕
 - Création d'adjacence (*Gain*) ▲ (*toute racine d'un arbre d'adjacence*)
 - Cassure d'adjacence (*Break*) ➤

Un arbre d'adjacences \mathcal{A} est un arbre phylogénétique retraçant l'histoire évolutive d'adjacences

Un arbre d'adjacences \mathcal{A} est un arbre phylogénétique retraçant l'histoire évolutive d'adjacences

- Il est associé à 2 arbres de gènes, \mathcal{G}_1 et \mathcal{G}_2 , et à une liste d'adjacences actuelles notée \mathcal{L}

Un arbre d'adjacences \mathcal{A} est un arbre phylogénétique retraçant l'histoire évolutive d'adjacences

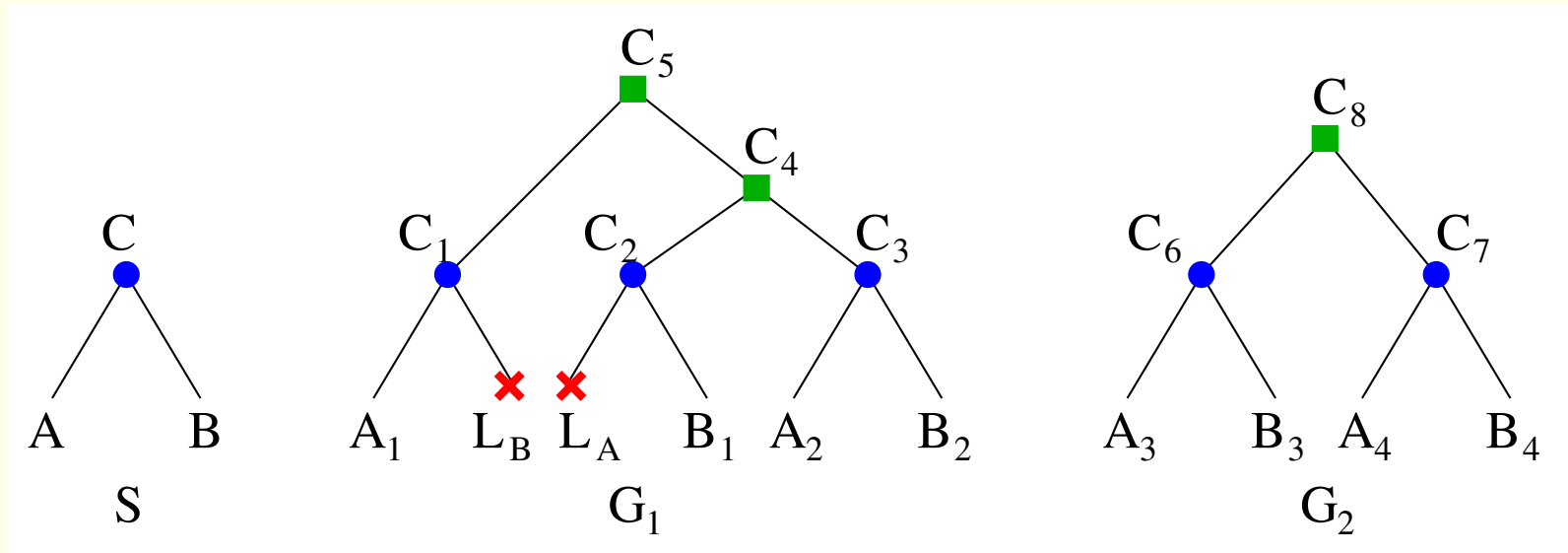
- Il est associé à 2 arbres de gènes, \mathcal{G}_1 et \mathcal{G}_2 , et à une liste d'adjacences actuelles notée \mathcal{L}
- Tous ses nœuds sont étiquetés par des adjacences entre nœuds des arbres de gènes associés et/ou un événement évolutif
 - Évt feuilles : $\{GLos, ALos, Break, Extant\}$
 - Évt nœuds internes : $\{Spec, GDup, ADup\}$

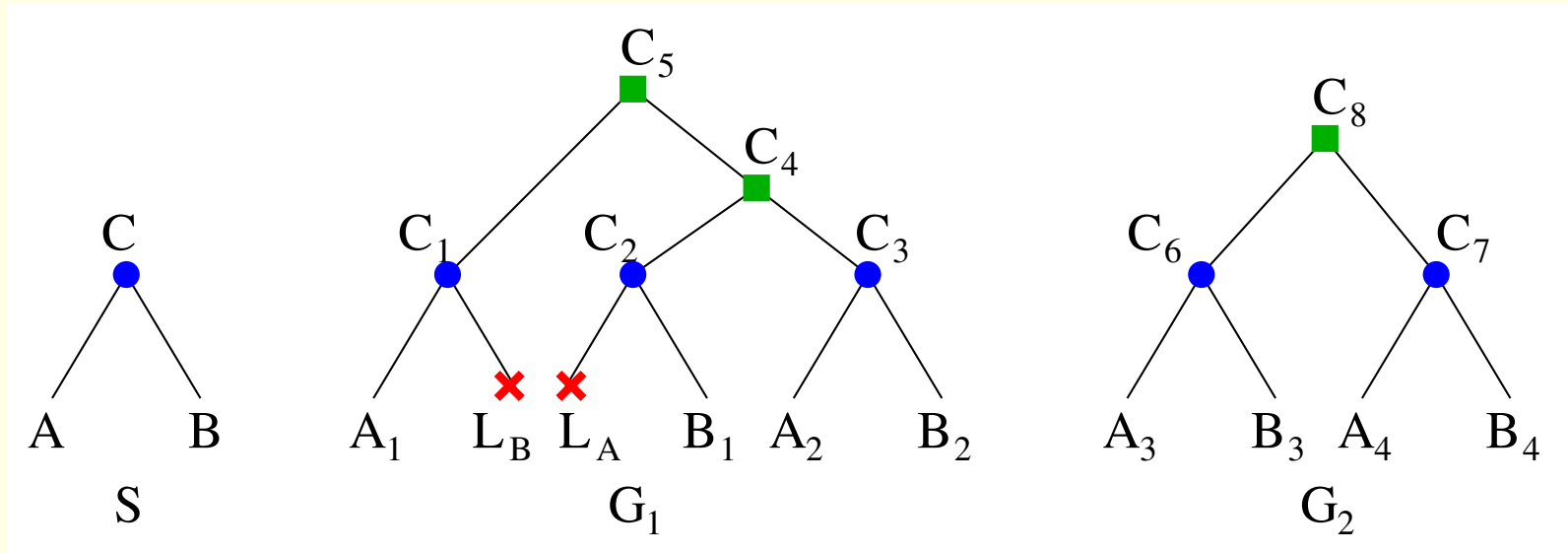
Un arbre d'adjacences \mathcal{A} est un arbre phylogénétique retraçant l'histoire évolutive d'adjacences

- Il est associé à 2 arbres de gènes, \mathcal{G}_1 et \mathcal{G}_2 , et à une liste d'adjacences actuelles notée \mathcal{L}
- Tous ses nœuds sont étiquetés par des adjacences entre nœuds des arbres de gènes associés et/ou un événement évolutif
 - Évt feuilles : $\{GLos, ALos, Break, Extant\}$
 - Évt nœuds internes : $\{Spec, GDup, ADup\}$
- L'arbre respecte les règles de transmissions d'adjacences, et ses feuilles de type *Extant* sont exactement les adjacences de \mathcal{L}

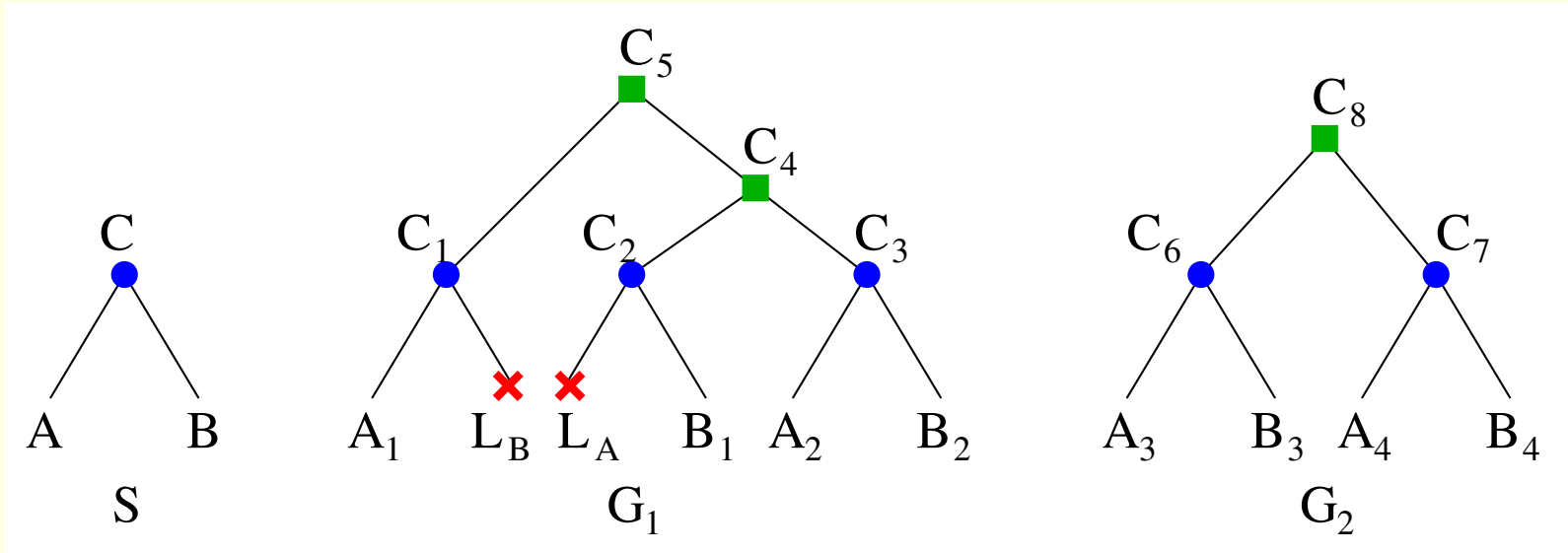
Un arbre d'adjacences \mathcal{A} est un arbre phylogénétique retraçant l'histoire évolutive d'adjacences

- Il est associé à 2 arbres de gènes, \mathcal{G}_1 et \mathcal{G}_2 , et à une liste d'adjacences actuelles notée \mathcal{L}
- Tous ses nœuds sont étiquetés par des adjacences entre nœuds des arbres de gènes associés et/ou un événement évolutif
 - Évt feuilles : $\{GLos, ALos, Break, Extant\}$
 - Évt nœuds internes : $\{Spec, GDup, ADup\}$
- L'arbre respecte les règles de transmissions d'adjacences, et ses feuilles de type *Extant* sont exactement les adjacences de \mathcal{L}
- La racine correspond à la création d'une adjacence, ce nœud racine porte aussi une étiquette événement

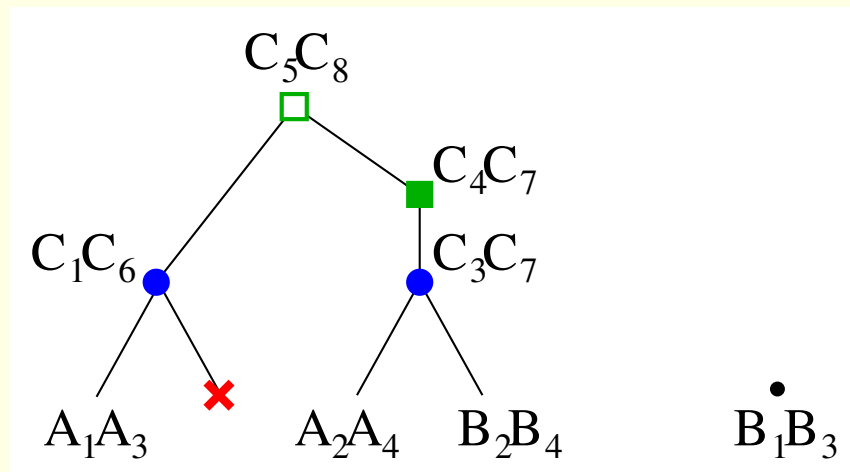


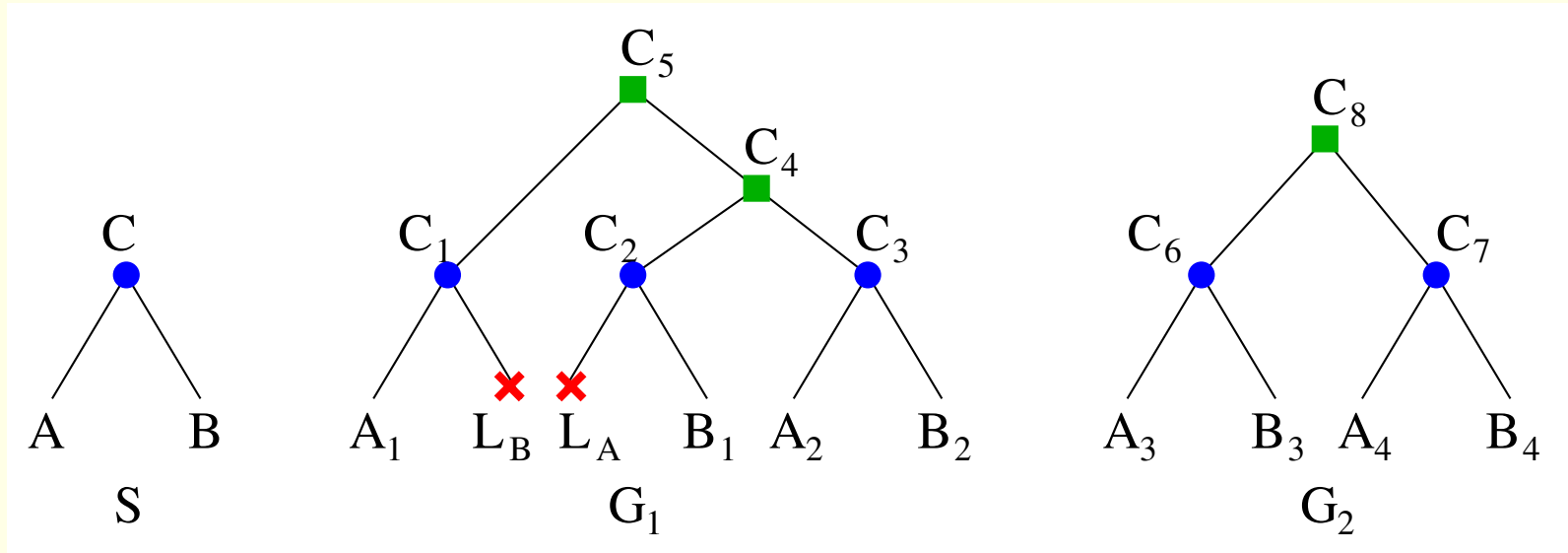


Liste d'adjacences associées $\mathcal{L} = \{A_1A_3, B_1B_3, A_2A_4, B_2B_4\}$

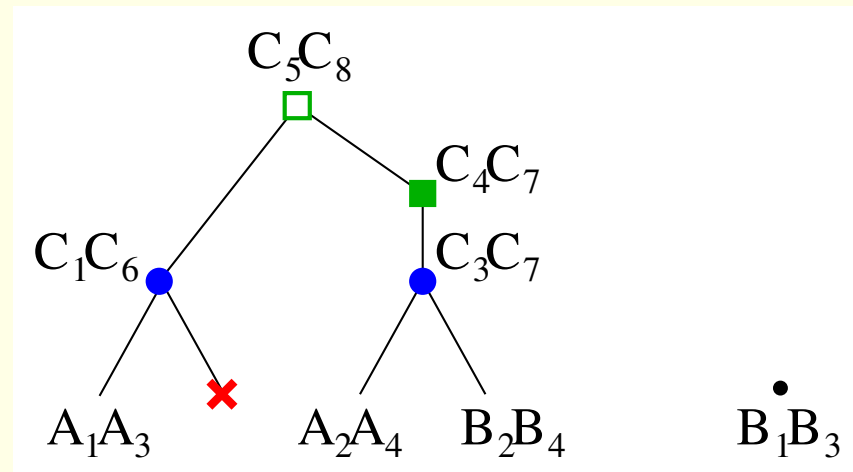


Liste d'adjacences associées $\mathcal{L} = \{A_1A_3, B_1B_3, A_2A_4, B_2B_4\}$





Liste d'adjacences associées $\mathcal{L} = \{A_1A_3, B_1B_3, A_2A_4, B_2B_4\}$

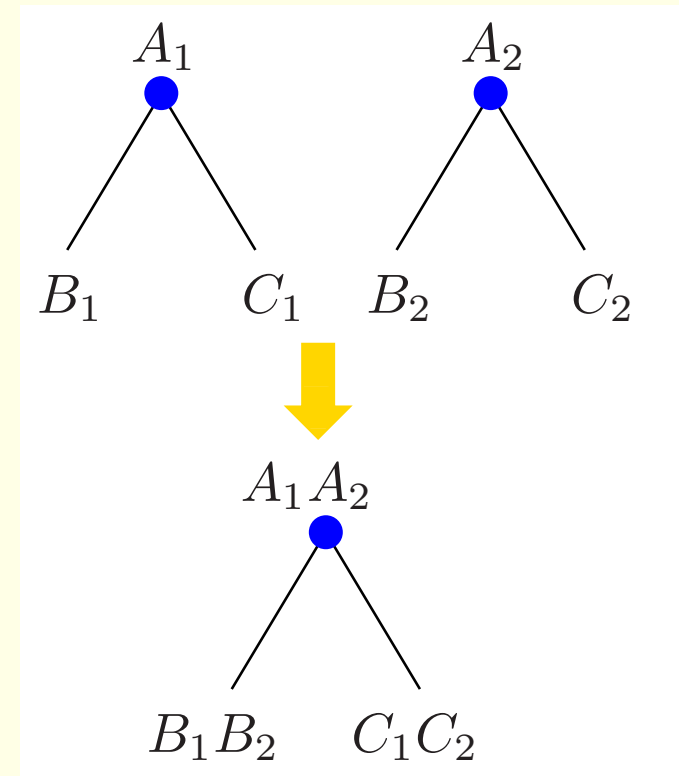


Remarque : Les arbres d'adjacences ne sont pas forcément binaires

Les nœuds d'un arbre d'adjacences \mathcal{A} associé à 2 arbres de gènes \mathcal{G}_1 et \mathcal{G}_2 et à une liste d'adjacences \mathcal{L} respectent les propriétés suivantes :

- A_1A_2 **Nœud de spéciation**
Alors A_1 et A_2 doivent être 2 nœuds de spéciation dans leur arbre de gènes respectifs

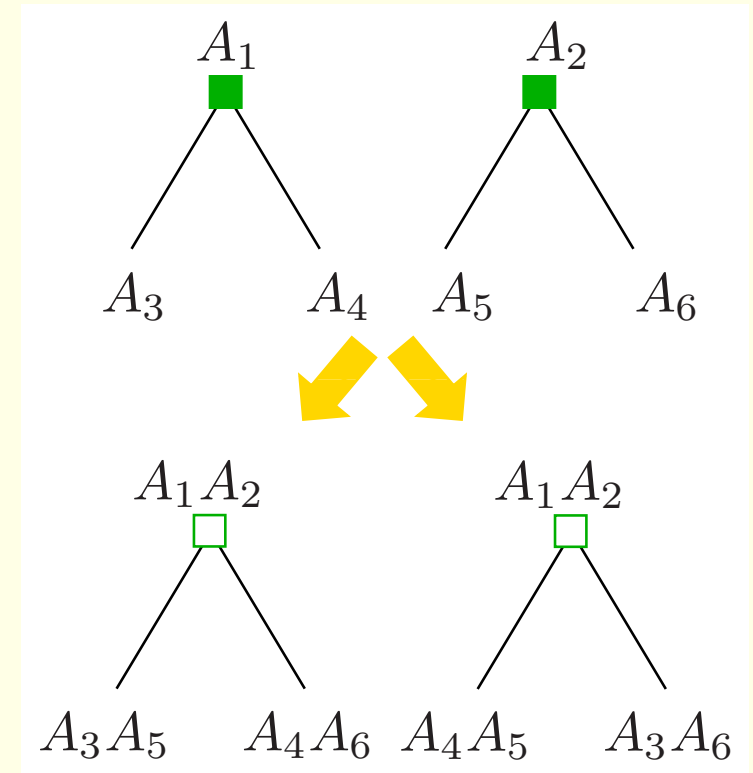
Supposons que A_1 et A_2 aient 2 fils, respectivement B_1 et C_1 et B_2 et C_2 . Alors les fils de A_1A_2 dans \mathcal{A} sont exactement B_1B_2 et C_1C_2



- A_1A_2 Nœud de duplication d'adjacence

Alors A_1 et A_2 doivent être 2 nœuds de duplication de gène

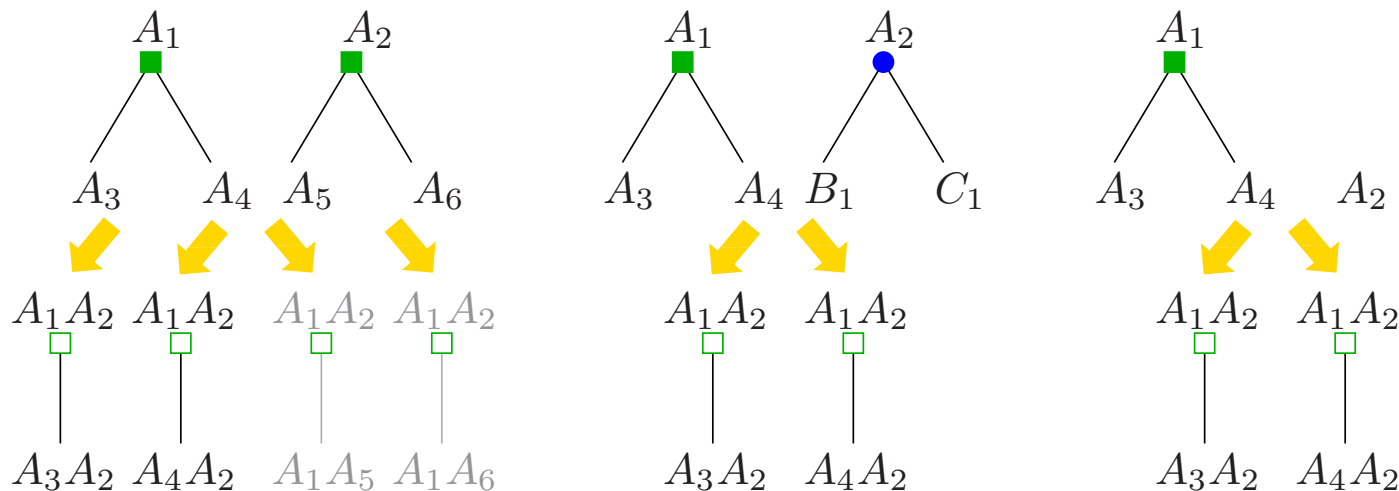
Si A_1 et A_2 ont 2 fils, respectivement A_3 et A_4 et A_5 et A_6 , alors A_1A_2 a exactement 2 fils dans \mathcal{A} qui sont soit A_3A_5 et A_4A_6 soit A_4A_5 et A_3A_6



- A_1A_2 Nœud de duplication de gène

Alors A_1 ou A_2 (ou les deux) doit être un nœud de duplication de gène dans son arbre de gènes

Supposons que A_1 soit le nœud de duplication de gène avec 2 fils A_3 et A_4 . Alors A_1A_2 a exactement 1 fils dans \mathcal{A} qui est soit A_3A_2 soit A_4A_2



- A_1A_2 **Nœud de création d'adjacence**

Alors A_1A_2 est la racine de \mathcal{A} et A_1 et A_2 peuvent être de n'importe quel type (*sauf le couple $Spec/Extant$ qui n'existe pas*)

- A_1A_2 **Nœud de création d'adjacence**

Alors A_1A_2 est la racine de \mathcal{A} et A_1 et A_2 peuvent être de n'importe quel type (*sauf le couple $Spec/Extant$ qui n'existe pas*)

- A_1A_2 **Feuille cassure d'adjacence**

Alors A_1 et A_2 peuvent être de n'importe quel type

- A_1A_2 **Nœud de création d'adjacence**
Alors A_1A_2 est la racine de \mathcal{A} et A_1 et A_2 peuvent être de n'importe quel type (*sauf le couple $Spec/Extant$ qui n'existe pas*)
- A_1A_2 **Feuille cassure d'adjacence**
Alors A_1 et A_2 peuvent être de n'importe quel type
- A_1A_2 **Feuille adjacence actuelle**
Alors A_1 et A_2 doivent être 2 gènes actuels

- A_1A_2 **Nœud de création d'adjacence**
Alors A_1A_2 est la racine de \mathcal{A} et A_1 et A_2 peuvent être de n'importe quel type (*sauf le couple $Spec/Extant$ qui n'existe pas*)
- A_1A_2 **Feuille cassure d'adjacence**
Alors A_1 et A_2 peuvent être de n'importe quel type
- A_1A_2 **Feuille adjacence actuelle**
Alors A_1 et A_2 doivent être 2 gènes actuels
- A_1A_2 **Feuille perte d'adjacence**
Alors A_1 et A_2 doivent être 2 perte de gènes

- A_1A_2 **Nœud de création d'adjacence**
Alors A_1A_2 est la racine de \mathcal{A} et A_1 et A_2 peuvent être de n'importe quel type (*sauf le couple $Spec/Extant$ qui n'existe pas*)
- A_1A_2 **Feuille cassure d'adjacence**
Alors A_1 et A_2 peuvent être de n'importe quel type
- A_1A_2 **Feuille adjacence actuelle**
Alors A_1 et A_2 doivent être 2 gènes actuels
- A_1A_2 **Feuille perte d'adjacence**
Alors A_1 et A_2 doivent être 2 perte de gènes
- A_1A_2 **Feuille perte de gène**
Alors A_1 ou bien A_2 doivent être une perte de gènes

Général Étant donné

- un arbre d'espèce,
- un ensemble d'arbres de gènes,
- une liste d'adjacences actuelles,

trouver l'histoire évolutive des adjacences minimisant le nombre de création et de cassure d'adjacences

Général Étant donné

- un arbre d'espèce,
- un ensemble d'arbres de gènes,
- une liste d'adjacences actuelles,

trouver l'histoire évolutive des adjacences minimisant le nombre de création et de cassure d'adjacences

Sous-problème Étant donné

- un arbre d'espèce,
- 2 arbres de gènes réconciliés,
- une liste \mathcal{L} d'adj. actuelles entre feuilles de ces arbres,

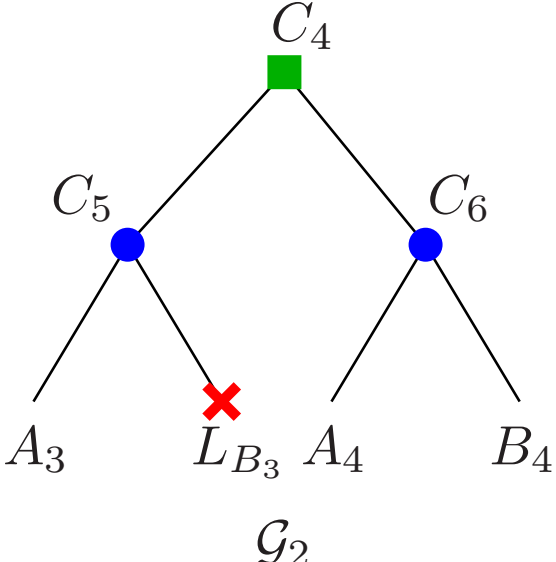
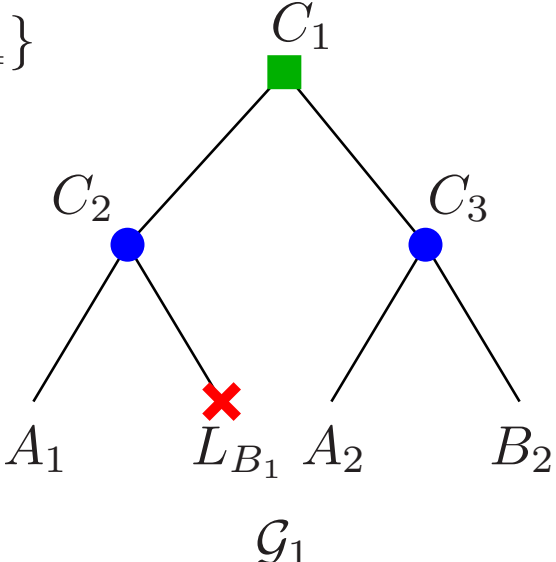
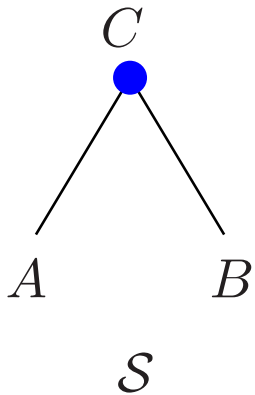
trouver l'histoire évolutive des adjacences de \mathcal{L} minimisant le nombre de création et de cassure d'adjacences

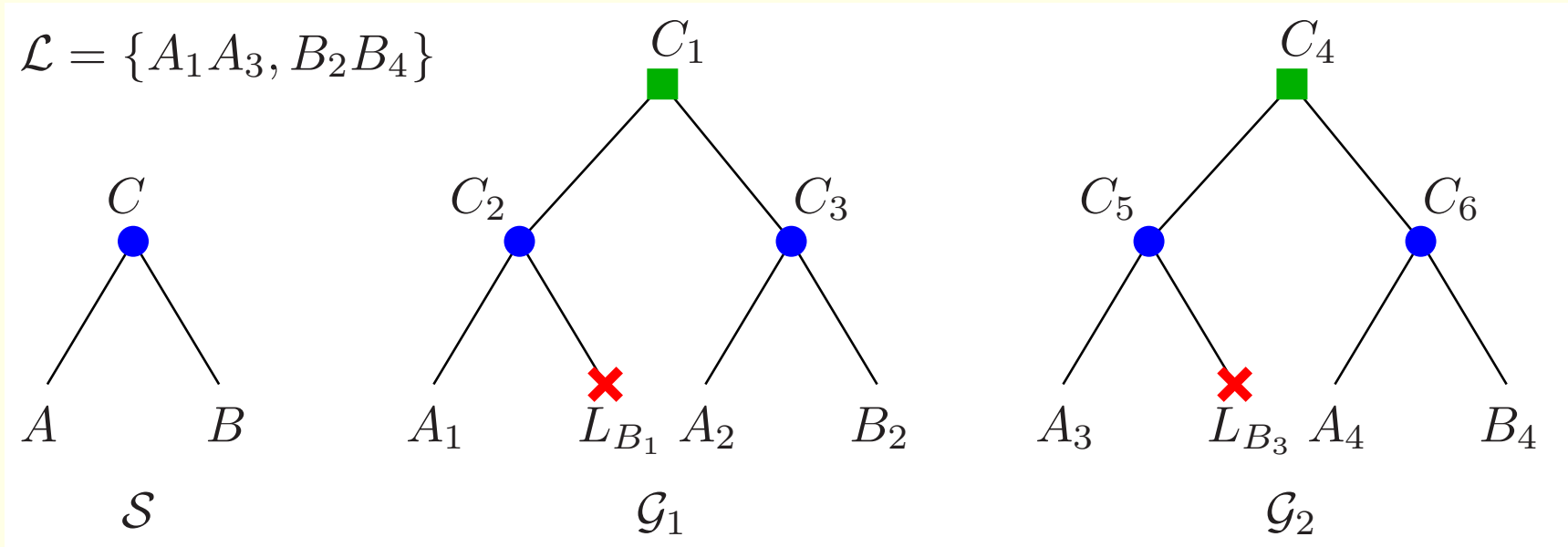
⇒ Résolu par l'algorithme DeCo

-
- Introduction
 - Modèle
 - Démarche
 - Étape 1 : Réconciliation
 - Étape 2 : Création des classes d'adjacences
 - Étape 3 : Algorithme DeCo
 - Étape 4 : Synthèse
 - Validation
 - Utilisation de DeCo pour l'assemblage : ARt-DeCo

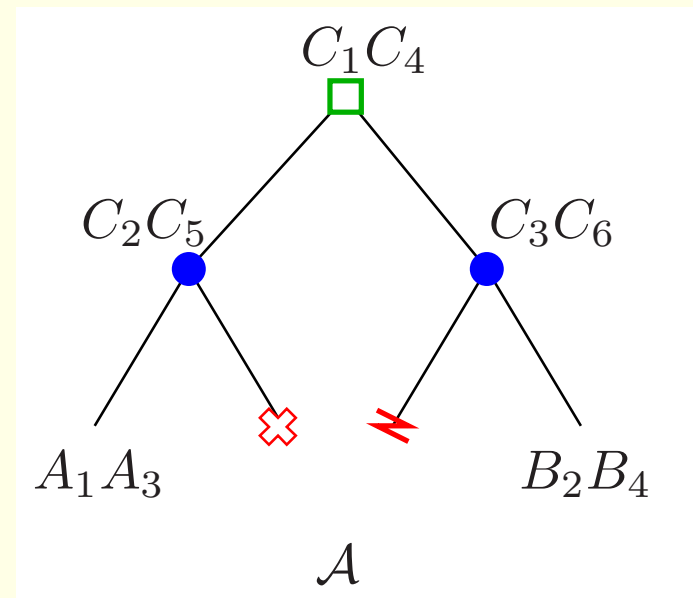
-
- Introduction
 - Modèle
 - Démarche
 - Étape 1 : Réconciliation
 - Étape 2 : Création des classes d'adjacences
 - **Étape 3 : Algorithme DeCo**
 - Étape 4 : Synthèse
 - Validation
 - Utilisation de DeCo pour l'assemblage : ARt-DeCo

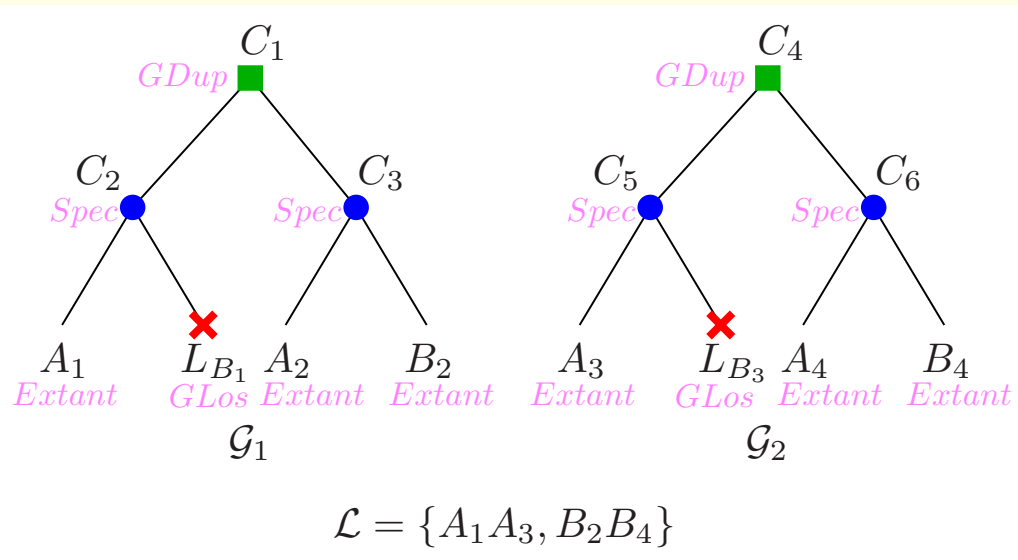
$$\mathcal{L} = \{A_1A_3, B_2B_4\}$$





1. Calcul d'une matrice de coût par programmation dynamique
2. Phase de *backtracking*



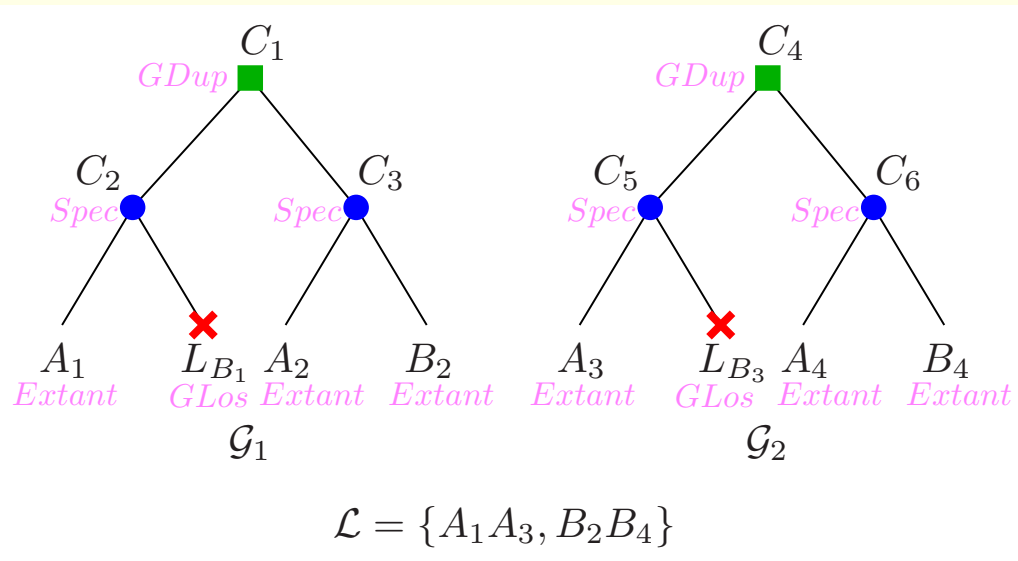


c_0/c_1	A_3	L_{B_3}	A_4	B_4	C_5	C_6	C_4
A_1							
L_{B_1}							
A_2							
B_2							
C_2							
C_3							
C_1							

- Matrice de programmation dynamique, coûts c_0 et c_1 :

→ $c_0(n_1, n_2)$ coût minimum d'une histoire évolutive où n_1 et n_2 ne sont pas adjacents

→ $c_1(n_1, n_2)$ coût minimum d'une histoire évolutive où n_1 et n_2 sont adjacents



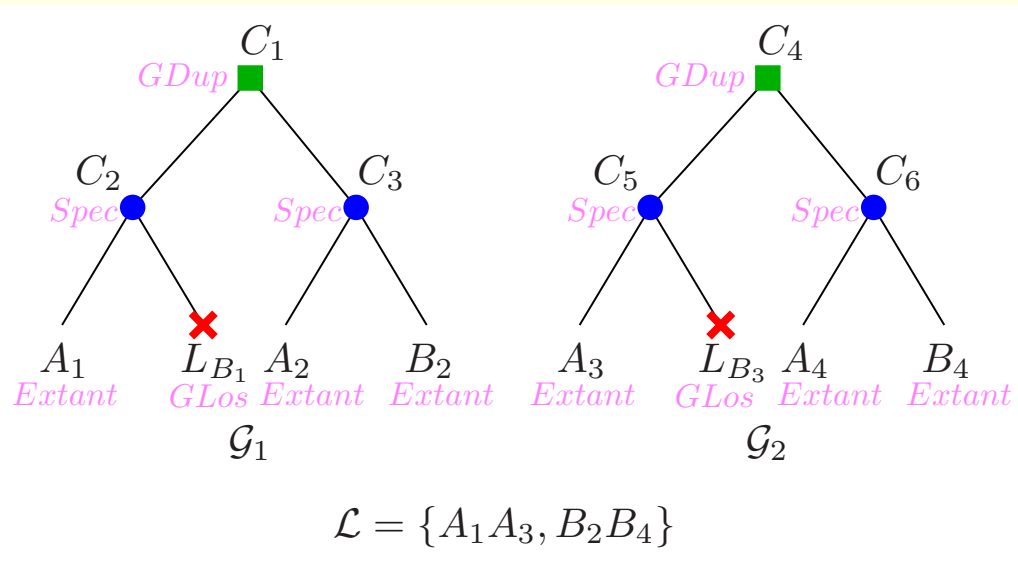
c_0/c_1	A_3	L_{B_3}	A_4	B_4	C_5	C_6	C_4
A_1		×		×	×	×	×
L_{B_1}	×		×		×	×	×
A_2		×		×	×	×	×
B_2	×		×		×	×	×
C_2	×	×	×	×			
C_3	×	×	×	×			
C_1	×	×	×	×			

- Matrice de programmation dynamique, coûts c_0 et c_1 :

→ $c_0(n_1, n_2)$ coût minimum d'une histoire évolutive où n_1 et n_2 ne sont pas adjacents

→ $c_1(n_1, n_2)$ coût minimum d'une histoire évolutive où n_1 et n_2 sont adjacents

- Calcul des coûts entre nœuds de même espèce



c_0/c_1	A_3	L_{B_3}	A_4	B_4	C_5	C_6	C_4
A_1		×		×	×	×	×
L_{B_1}	×		×		×	×	×
A_2		×		×	×	×	×
B_2	×		×		×	×	×
C_2	×	×	×	×			
C_3	×	×	×	×			
C_1	×	×	×	×			

- Matrice de programmation dynamique, coûts c_0 et c_1 :

→ $c_0(n_1, n_2)$ coût minimum d'une histoire évolutive où n_1 et n_2 ne sont pas adjacents

→ $c_1(n_1, n_2)$ coût minimum d'une histoire évolutive où n_1 et n_2 sont adjacents

- Calcul des coûts entre nœuds de même espèce
- Calcul des coûts selon les événements associés aux nœuds ⇒ plusieurs cas

À chaque cas est associé une formule de récurrence :

1. $E(n_1) = Extant$ et $E(n_2) = Extant$

Si $n_1 n_2 \in \mathcal{L}$ alors $c_1(n_1, n_2) = 0$ et $c_0(n_1, n_2) = \infty$

sinon $c_1(n_1, n_2) = \infty$ et $c_0(n_1, n_2) = 0$

À chaque cas est associé une formule de récurrence :

1. $E(n_1) = Extant$ et $E(n_2) = Extant$

Si $n_1 n_2 \in \mathcal{L}$ alors $c_1(n_1, n_2) = 0$ et $c_0(n_1, n_2) = \infty$

sinon $c_1(n_1, n_2) = \infty$ et $c_0(n_1, n_2) = 0$

2. $E(n_1) = GLos$ et $E(n_2) \neq GLos$

Alors $c_1(n_1, n_2) = 0$ et $c_0(n_1, n_2) = 0$

À chaque cas est associé une formule de récurrence :

1. $E(n_1) = Extant$ et $E(n_2) = Extant$

Si $n_1 n_2 \in \mathcal{L}$ alors $c_1(n_1, n_2) = 0$ et $c_0(n_1, n_2) = \infty$

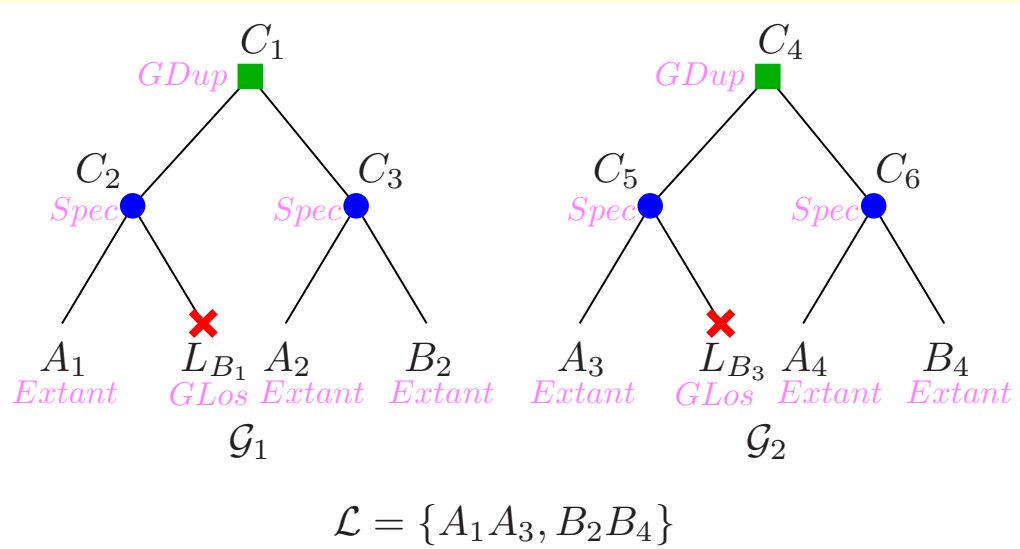
sinon $c_1(n_1, n_2) = \infty$ et $c_0(n_1, n_2) = 0$

2. $E(n_1) = GLos$ et $E(n_2) \neq GLos$

Alors $c_1(n_1, n_2) = 0$ et $c_0(n_1, n_2) = 0$

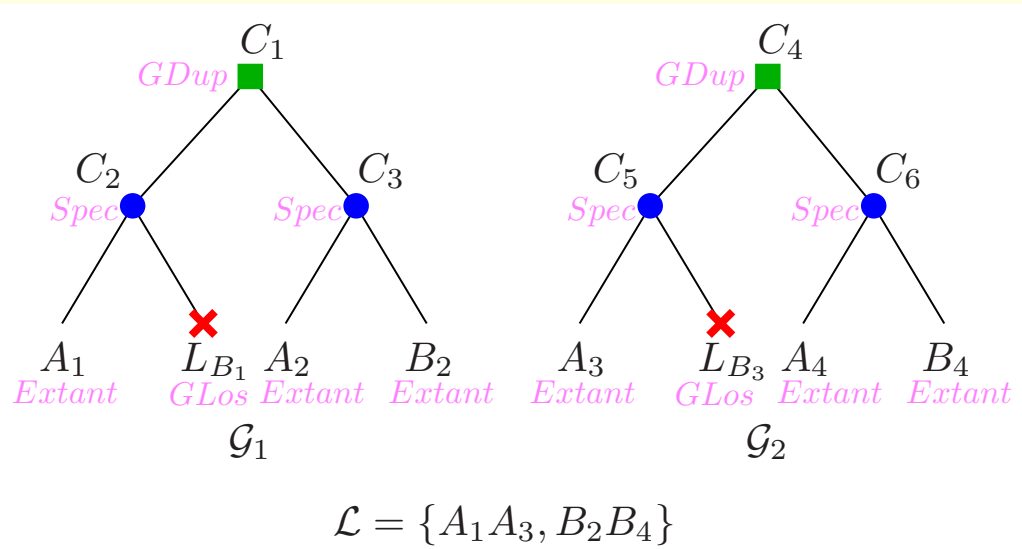
3. $E(n_1) = GLos$ et $E(n_2) = GLos$

Alors $c_1(n_1, n_2) = 0$ et $c_0(n_1, n_2) = 0$



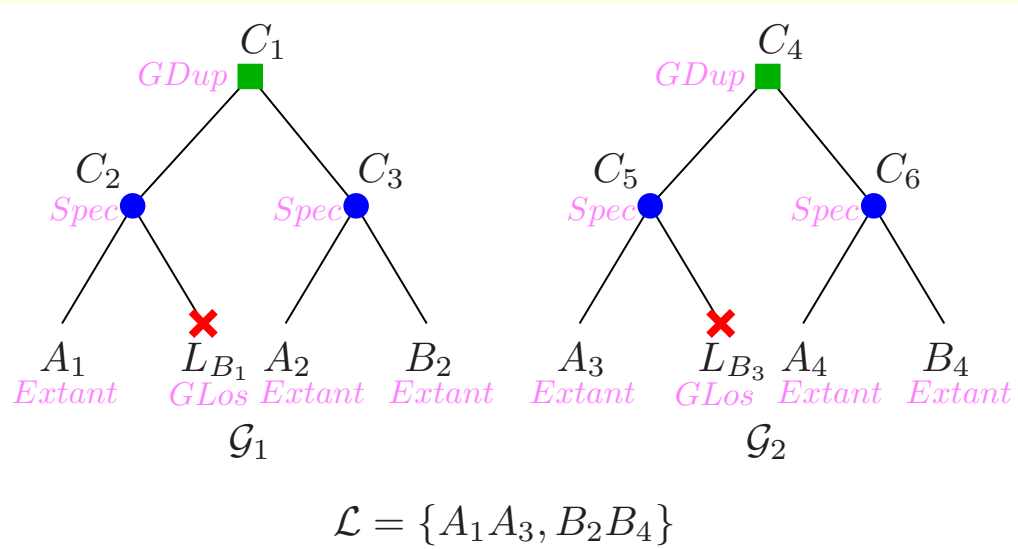
c_0/c_1	A_3	L_{B_3}	A_4	B_4	C_5	C_6	C_4
A_1		X		X	X	X	X
L_{B_1}	X		X		X	X	X
A_2		X		X	X	X	X
B_2	X		X		X	X	X
C_2	X	X	X	X			
C_3	X	X	X	X			
C_1	X	X	X	X			

- A_1-A_3 : cas 1. *Extant/Extant*, $A_1A_3 \in \mathcal{L}$



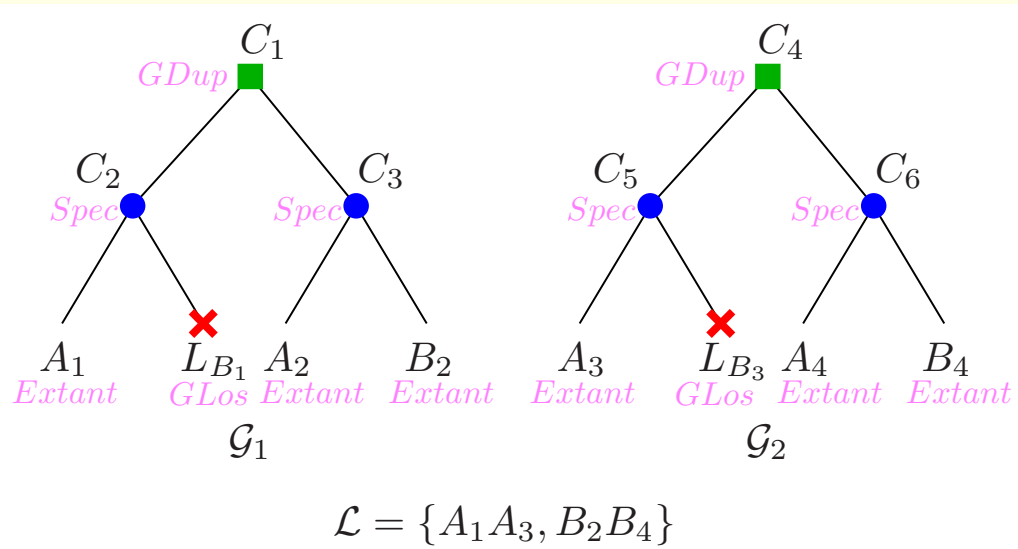
c_0/c_1	A_3	L_{B_3}	A_4	B_4	C_5	C_6	C_4
A_1	$\infty/0$	X		X	X	X	X
L_{B_1}	X		X		X	X	X
A_2		X		X	X	X	X
B_2	X		X		X	X	X
C_2	X	X	X	X			
C_3	X	X	X	X			
C_1	X	X	X	X			

- A_1-A_3 : cas 1. *Extant/Extant*, $A_1A_3 \in \mathcal{L}$



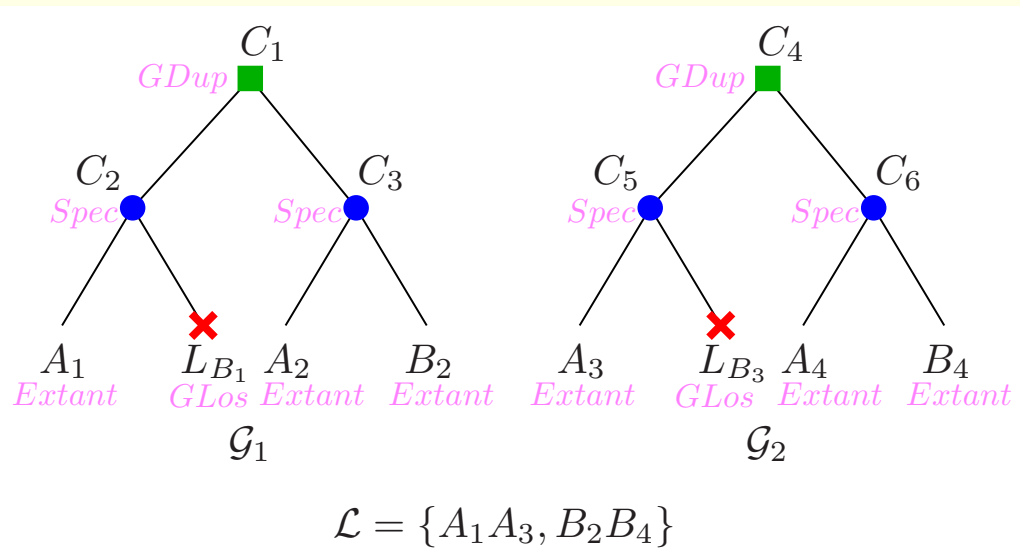
c_0/c_1	A_3	L_{B_3}	A_4	B_4	C_5	C_6	C_4
A_1	$\infty/0$	×		×	×	×	×
L_{B_1}	×		×		×	×	×
A_2		×		×	×	×	×
B_2	×		×		×	×	×
C_2	×	×	×	×			
C_3	×	×	×	×			
C_1	×	×	×	×			

- A_1-A_3 : cas 1. *Extant/Extant*, $A_1A_3 \in \mathcal{L}$
- A_1-A_4 : cas 1. *Extant/Extant*, $A_1A_4 \notin \mathcal{L}$



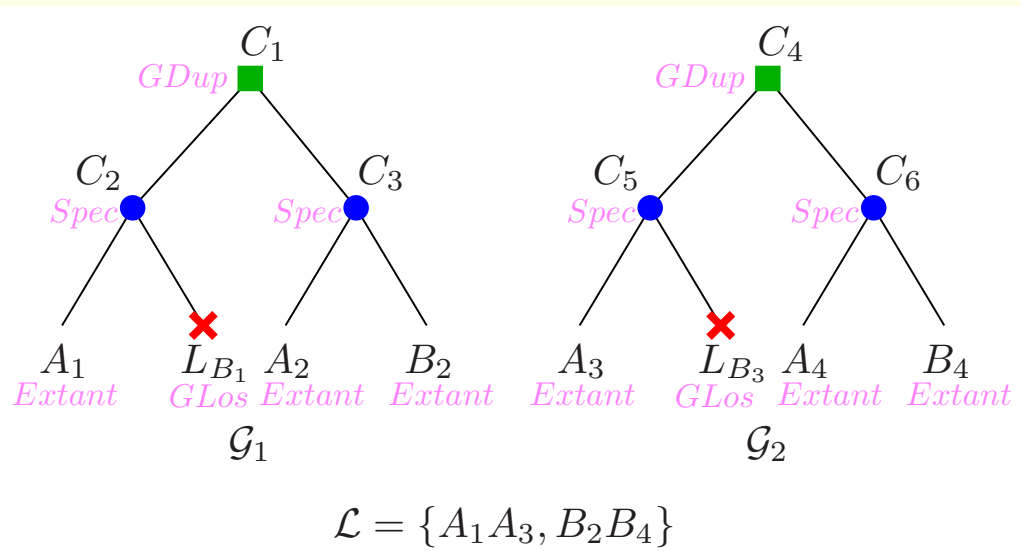
c_0/c_1	A_3	L_{B_3}	A_4	B_4	C_5	C_6	C_4
A_1	$\infty/0$	×	$0/\infty$	×	×	×	×
L_{B_1}	×		×		×	×	×
A_2		×		×	×	×	×
B_2	×		×		×	×	×
C_2	×	×	×	×			
C_3	×	×	×	×			
C_1	×	×	×	×			

- A_1-A_3 : cas 1. *Extant/Extant*, $A_1A_3 \in \mathcal{L}$
- A_1-A_4 : cas 1. *Extant/Extant*, $A_1A_4 \notin \mathcal{L}$



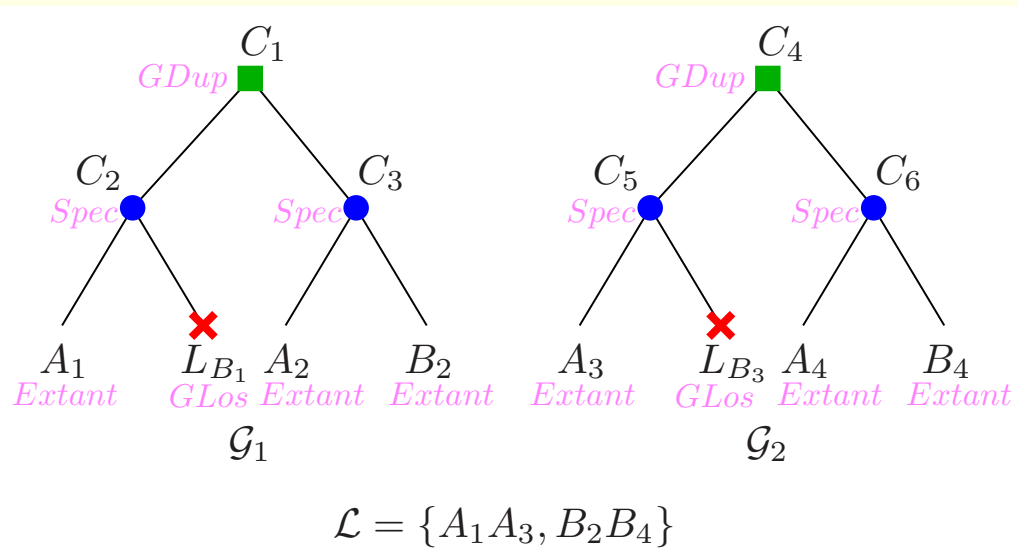
c_0/c_1	A_3	L_{B_3}	A_4	B_4	C_5	C_6	C_4
A_1	$\infty/0$	×	$0/\infty$	×	×	×	×
L_{B_1}	×		×		×	×	×
A_2		×		×	×	×	×
B_2	×		×		×	×	×
C_2	×	×	×	×			
C_3	×	×	×	×			
C_1	×	×	×	×			

- A_1-A_3 : cas 1. *Extant/Extant*, $A_1A_3 \in \mathcal{L}$
- A_1-A_4 : cas 1. *Extant/Extant*, $A_1A_4 \notin \mathcal{L}$
- $L_{B_1}-L_{B_3}$: cas 3. *GLos/GLos*



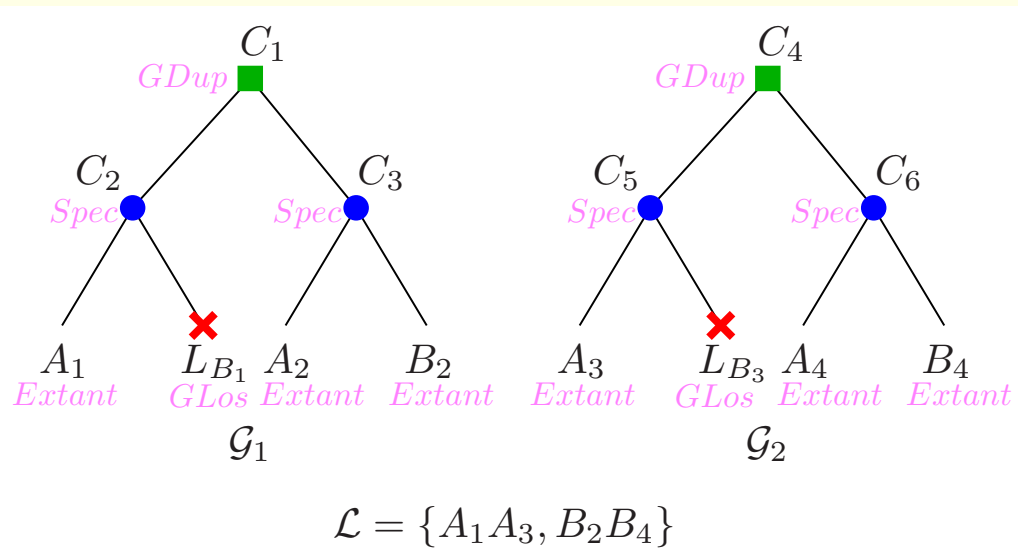
c_0/c_1	A_3	L_{B_3}	A_4	B_4	C_5	C_6	C_4
A_1	$\infty/0$	×	$0/\infty$	×	×	×	×
L_{B_1}	×	$0/0$	×		×	×	×
A_2		×		×	×	×	×
B_2	×		×		×	×	×
C_2	×	×	×	×			
C_3	×	×	×	×			
C_1	×	×	×	×			

- A_1-A_3 : cas 1. *Extant/Extant*, $A_1A_3 \in \mathcal{L}$
- A_1-A_4 : cas 1. *Extant/Extant*, $A_1A_4 \notin \mathcal{L}$
- $L_{B_1}-L_{B_3}$: cas 3. *GLos/GLos*



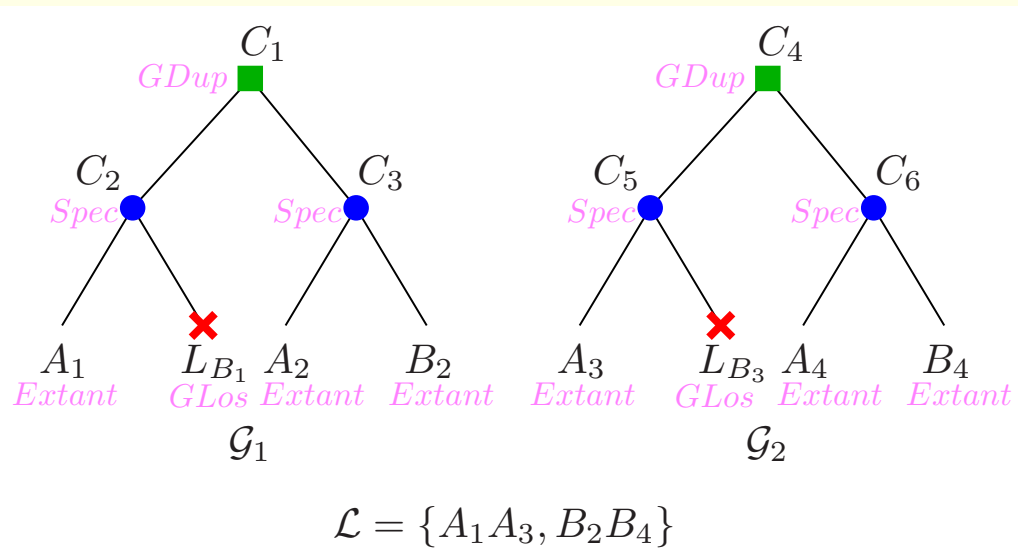
c_0/c_1	A_3	L_{B_3}	A_4	B_4	C_5	C_6	C_4
A_1	$\infty/0$	×	$0/\infty$	×	×	×	×
L_{B_1}	×	$0/0$	×		×	×	×
A_2		×		×	×	×	×
B_2	×		×		×	×	×
C_2	×	×	×	×			
C_3	×	×	×	×			
C_1	×	×	×	×			

- A_1-A_3 : cas 1. *Extant/Extant*, $A_1A_3 \in \mathcal{L}$
- A_1-A_4 : cas 1. *Extant/Extant*, $A_1A_4 \notin \mathcal{L}$
- $L_{B_1}-L_{B_3}$: cas 3. *GLos/GLos*
- $L_{B_1}-B_4$: cas 2. *GLos/Any*



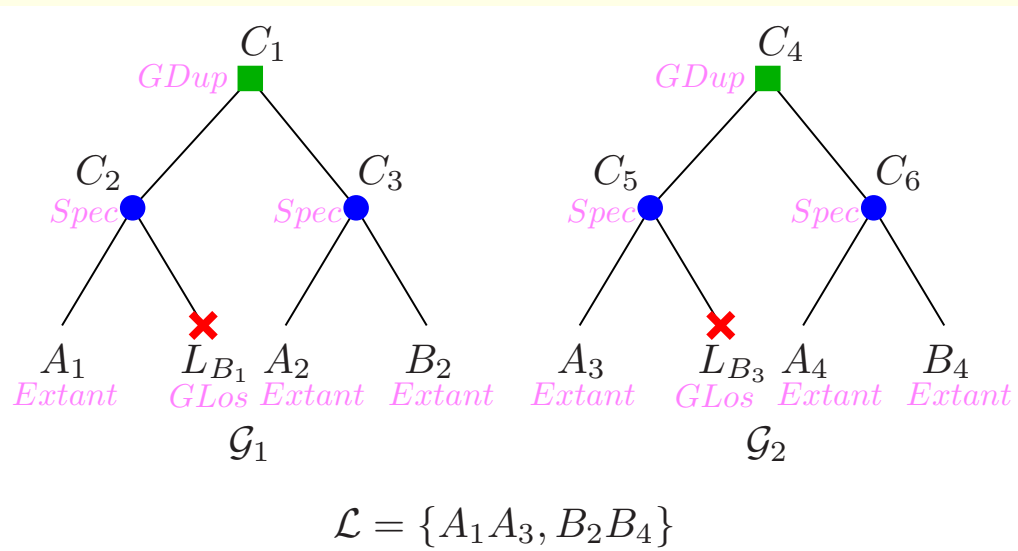
c_0/c_1	A_3	L_{B_3}	A_4	B_4	C_5	C_6	C_4
A_1	$\infty/0$	×	$0/\infty$	×	×	×	×
L_{B_1}	×	$0/0$	×	$0/0$	×	×	×
A_2		×		×	×	×	×
B_2	×		×		×	×	×
C_2	×	×	×	×			
C_3	×	×	×	×			
C_1	×	×	×	×			

- A_1-A_3 : cas 1. *Extant/Extant*, $A_1A_3 \in \mathcal{L}$
- A_1-A_4 : cas 1. *Extant/Extant*, $A_1A_4 \notin \mathcal{L}$
- $L_{B_1}-L_{B_3}$: cas 3. *GLos/GLos*
- $L_{B_1}-B_4$: cas 2. *GLos/Any*



c_0/c_1	A_3	L_{B_3}	A_4	B_4	C_5	C_6	C_4
A_1	$\infty/0$	X	$0/\infty$	X	X	X	X
L_{B_1}	X	$0/0$	X	$0/0$	X	X	X
A_2		X		X	X	X	X
B_2	X		X		X	X	X
C_2	X	X	X	X			
C_3	X	X	X	X			
C_1	X	X	X	X			

- A_1-A_3 : cas 1. *Extant/Extant*, $A_1A_3 \in \mathcal{L}$
- A_1-A_4 : cas 1. *Extant/Extant*, $A_1A_4 \notin \mathcal{L}$
- $L_{B_1}-L_{B_3}$: cas 3. *GLos/GLos*
- $L_{B_1}-B_4$: cas 2. *GLos/Any*
- ...



c_0/c_1	A_3	L_{B_3}	A_4	B_4	C_5	C_6	C_4
A_1	$\infty/0$	×	$0/\infty$	×	×	×	×
L_{B_1}	×	$0/0$	×	$0/0$	×	×	×
A_2	$0/\infty$	×	$0/\infty$	×	×	×	×
B_2	×	$0/0$	×	$\infty/0$	×	×	×
C_2	×	×	×	×			
C_3	×	×	×	×			
C_1	×	×	×	×			

- A_1-A_3 : cas 1. *Extant/Extant*, $A_1A_3 \in \mathcal{L}$
- A_1-A_4 : cas 1. *Extant/Extant*, $A_1A_4 \notin \mathcal{L}$
- $L_{B_1}-L_{B_3}$: cas 3. *GLos/GLos*
- $L_{B_1}-B_4$: cas 2. *GLos/Any*
- ...

4. $E(n_1) \in \{Extant, Spec\}$ et $E(n_2) = GDup$

$$c_1(n_1, n_2) = \min \left\{ \begin{array}{l} c_1(n_1, fg(n_2)) + c_0(n_1, fd(n_2)) \\ c_0(n_1, fg(n_2)) + c_1(n_1, fd(n_2)) \\ c_1(n_1, fg(n_2)) + c_1(n_1, fd(n_2)) + C(Gain) \\ c_0(n_1, fg(n_2)) + c_0(n_1, fd(n_2)) + C(Break) \end{array} \right.$$

4. $E(n_1) \in \{Extant, Spec\}$ et $E(n_2) = GDup$

$$c_1(n_1, n_2) = \min \begin{cases} c_1(n_1, fg(n_2)) + c_0(n_1, fd(n_2)) \\ c_0(n_1, fg(n_2)) + c_1(n_1, fd(n_2)) \\ c_1(n_1, fg(n_2)) + c_1(n_1, fd(n_2)) + C(Gain) \\ c_0(n_1, fg(n_2)) + c_0(n_1, fd(n_2)) + C(Break) \end{cases}$$

$$c_0(n_1, n_2) = \min \begin{cases} c_0(n_1, fg(n_2)) + c_0(n_1, fd(n_2)) \\ c_0(n_1, fg(n_2)) + c_1(n_1, fd(n_2)) + C(Gain) \\ c_1(n_1, fg(n_2)) + c_0(n_1, fd(n_2)) + C(Gain) \\ c_1(n_1, fg(n_2)) + c_1(n_1, fd(n_2)) + 2 * C(Gain) \end{cases}$$

5. $E(n_1) = Spec$ et $E(n_2) = Spec$

(on suppose que $S(fg(n_1)) = S(fg(n_2))$ et $S(fd(n_1)) = S(fd(n_2))$)

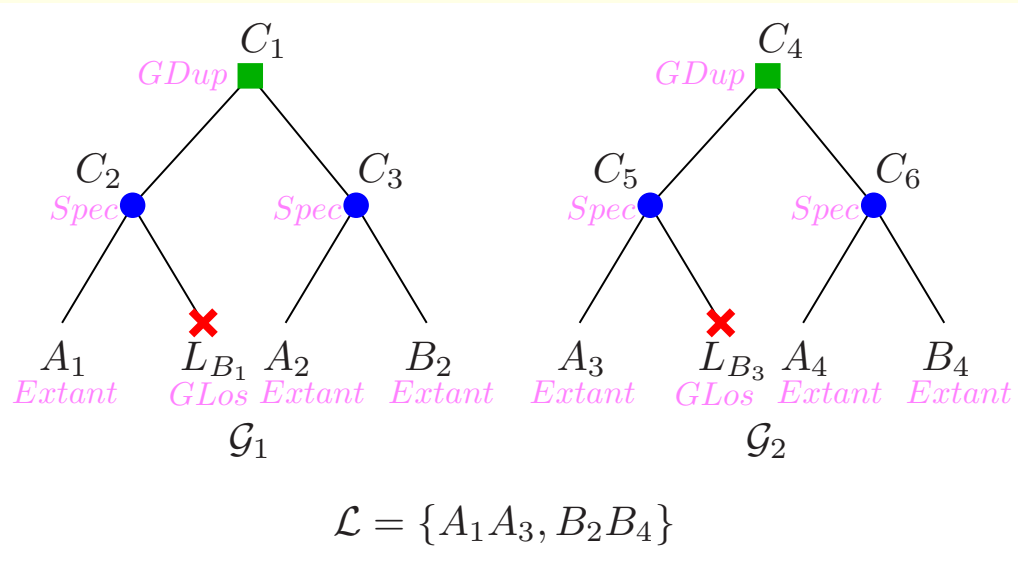
$$c_1(n_1, n_2) = \min \left\{ \begin{array}{l} c_1(fg(n_1), fg(n_2)) + c_1(fd(n_1), fd(n_2)) \\ c_1(fg(n_1), fg(n_2)) + c_0(fd(n_1), fd(n_2)) + C(Break) \\ c_0(fg(n_1), fg(n_2)) + c_1(fd(n_1), fd(n_2)) + C(Break) \\ c_0(fg(n_1), fg(n_2)) + c_0(fd(n_1), fd(n_2)) + 2 * C(Break) \end{array} \right.$$

5. $E(n_1) = Spec$ et $E(n_2) = Spec$

(on suppose que $S(fg(n_1)) = S(fg(n_2))$ et $S(fd(n_1)) = S(fd(n_2))$)

$$c_1(n_1, n_2) = \min \left\{ \begin{array}{l} c_1(fg(n_1), fg(n_2)) + c_1(fd(n_1), fd(n_2)) \\ c_1(fg(n_1), fg(n_2)) + c_0(fd(n_1), fd(n_2)) + C(Break) \\ c_0(fg(n_1), fg(n_2)) + c_1(fd(n_1), fd(n_2)) + C(Break) \\ c_0(fg(n_1), fg(n_2)) + c_0(fd(n_1), fd(n_2)) + 2 * C(Break) \end{array} \right.$$

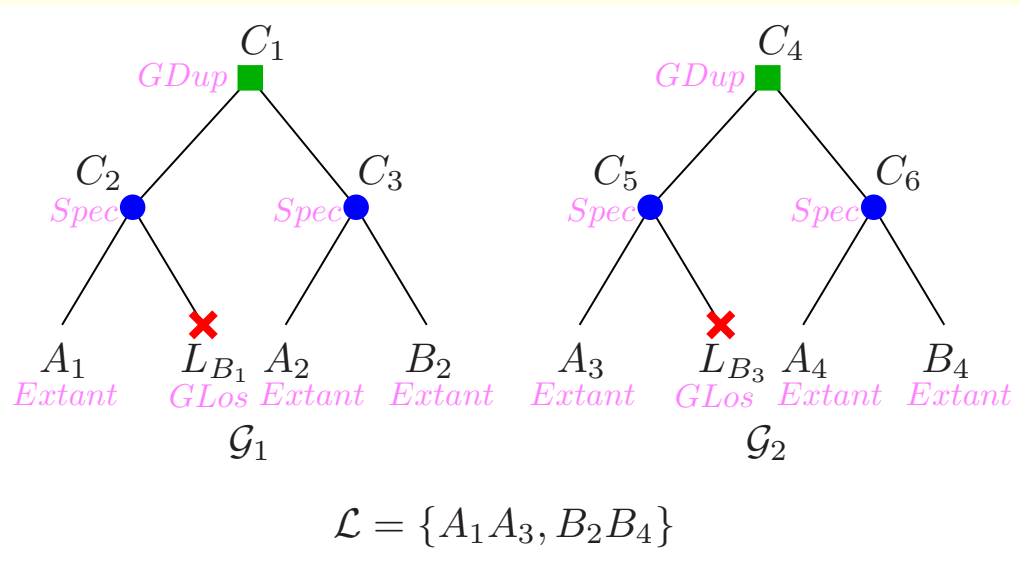
$$c_0(n_1, n_2) = \min \left\{ \begin{array}{l} c_0(fg(n_1), fg(n_2)) + c_0(fd(n_1), fd(n_2)) \\ c_1(fg(n_1), fg(n_2)) + c_0(fd(n_1), fd(n_2)) + C(Gain) \\ c_0(fg(n_1), fg(n_2)) + c_1(fd(n_1), fd(n_2)) + C(Gain) \\ c_1(fg(n_1), fg(n_2)) + c_1(fd(n_1), fd(n_2)) + 2 * C(Gain) \end{array} \right.$$



c_0/c_1	A_3	L_{B_3}	A_4	B_4	C_5	C_6	C_4
A_1	$\infty/0$	X	$0/\infty$	X	X	X	X
L_{B_1}	X	$0/0$	X	$0/0$	X	X	X
A_2	$0/\infty$	X	$0/\infty$	X	X	X	X
B_2	X	$0/0$	X	$\infty/0$	X	X	X
C_2	X	X	X	X			
C_3	X	X	X	X			
C_1	X	X	X	X			

- C_2-C_5 : cas 5. *Spec/Spec*

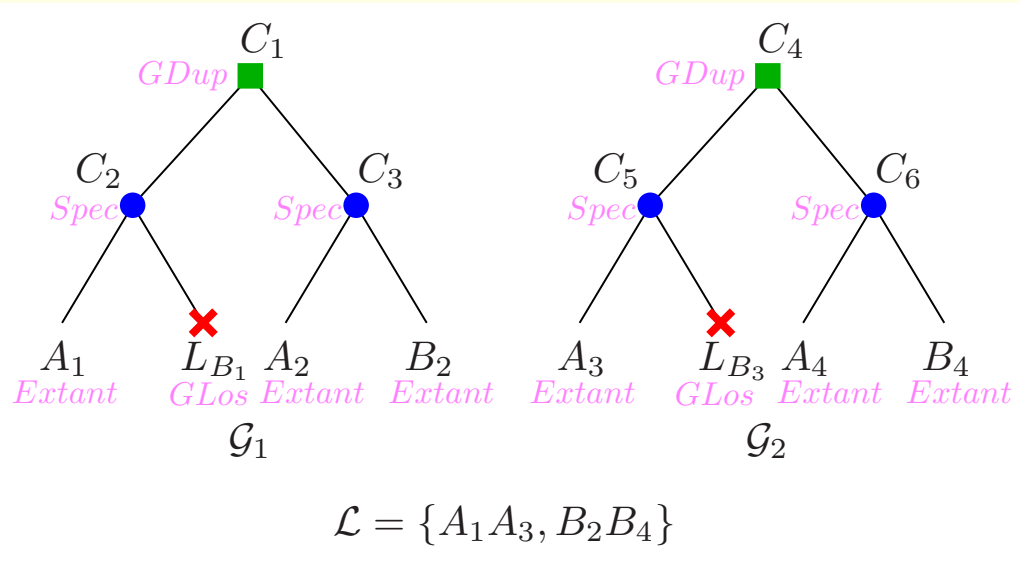
$$c_1(C_2, C_5) = \min \begin{cases} c_1(A_1, A_3) & + & c_1(L_{B_1}, L_{B_3}) \\ c_1(A_1, A_3) & + & c_0(L_{B_1}, L_{B_3}) & + & C(Break) \\ c_0(A_1, A_3) & + & c_1(L_{B_1}, L_{B_3}) & + & C(Break) \\ c_0(A_1, A_3) & + & c_0(L_{B_1}, L_{B_3}) & + & 2 * C(Break) \end{cases}$$



c_0/c_1	A_3	LB_3	A_4	B_4	C_5	C_6	C_4
A_1	$\infty/0$	X	$0/\infty$	X	X	X	X
LB_1	X	$0/0$	X	$0/0$	X	X	X
A_2	$0/\infty$	X	$0/\infty$	X	X	X	X
B_2	X	$0/0$	X	$\infty/0$	X	X	X
C_2	X	X	X	X			
C_3	X	X	X	X			
C_1	X	X	X	X			

- C_2-C_5 : cas 5. *Spec/Spec*

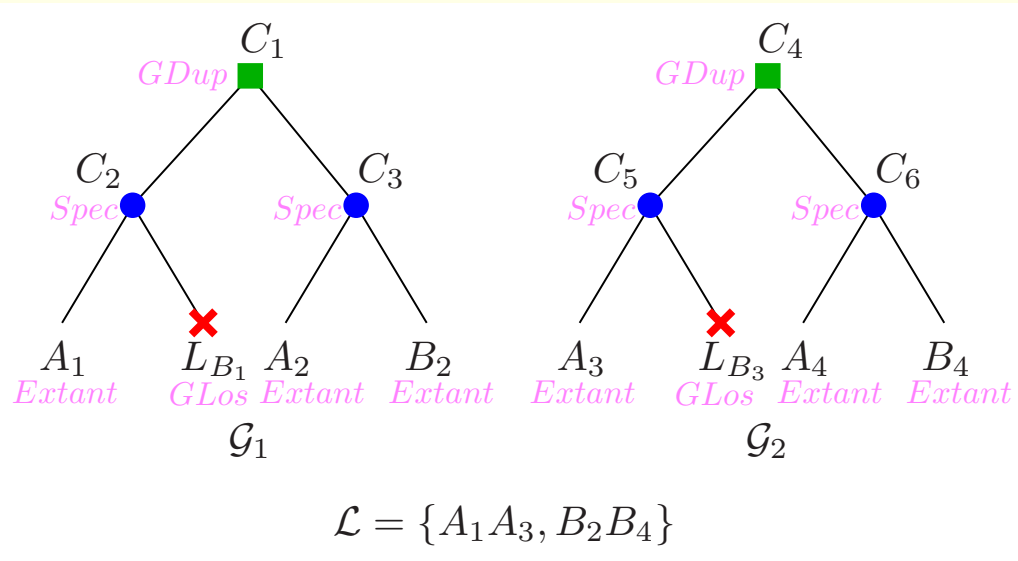
$$c_1(C_2, C_5) = \min \left\{ \begin{array}{l} 0 + 0 \\ 0 + 0 + 1 \\ \infty + 0 + 1 \\ \infty + 0 + 2 \end{array} \right.$$



c_0/c_1	A_3	LB_3	A_4	B_4	C_5	C_6	C_4
A_1	$\infty/0$	X	$0/\infty$	X	X	X	X
LB_1	X	$0/0$	X	$0/0$	X	X	X
A_2	$0/\infty$	X	$0/\infty$	X	X	X	X
B_2	X	$0/0$	X	$\infty/0$	X	X	X
C_2	X	X	X	X	$/0$		
C_3	X	X	X	X			
C_1	X	X	X	X			

- C_2-C_5 : cas 5. *Spec/Spec*

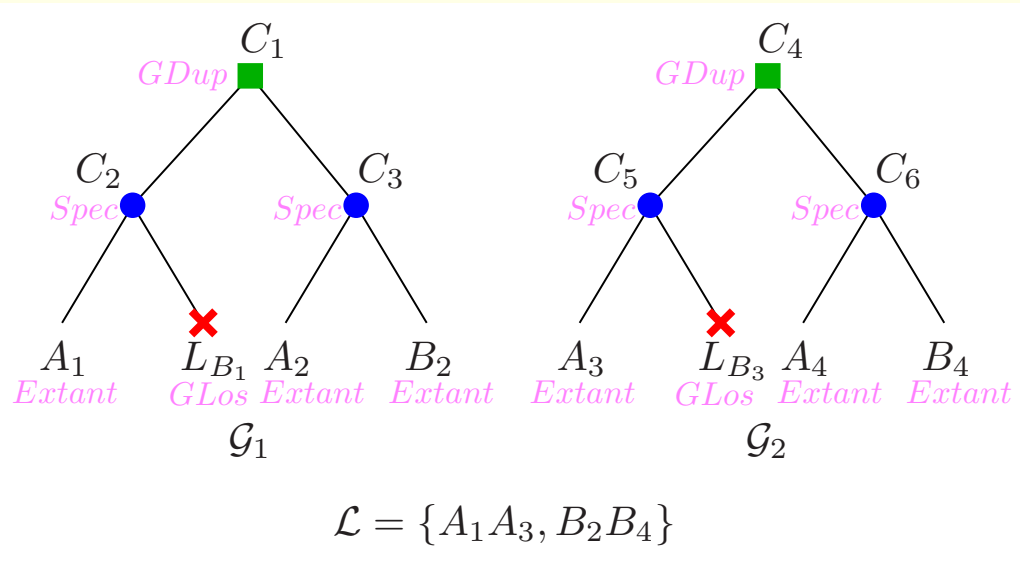
$$c_1(C_2, C_5) = \min \left\{ \begin{array}{l} 0 + 0 \\ 0 + 0 + 1 \\ \infty + 0 + 1 \\ \infty + 0 + 2 \end{array} \right.$$



c_0/c_1	A_3	L_{B_3}	A_4	B_4	C_5	C_6	C_4
A_1	$\infty/0$	X	$0/\infty$	X	X	X	X
L_{B_1}	X	$0/0$	X	$0/0$	X	X	X
A_2	$0/\infty$	X	$0/\infty$	X	X	X	X
B_2	X	$0/0$	X	$\infty/0$	X	X	X
C_2	X	X	X	X	$/0$		
C_3	X	X	X	X			
C_1	X	X	X	X			

- C_2-C_5 : cas 5. *Spec/Spec*

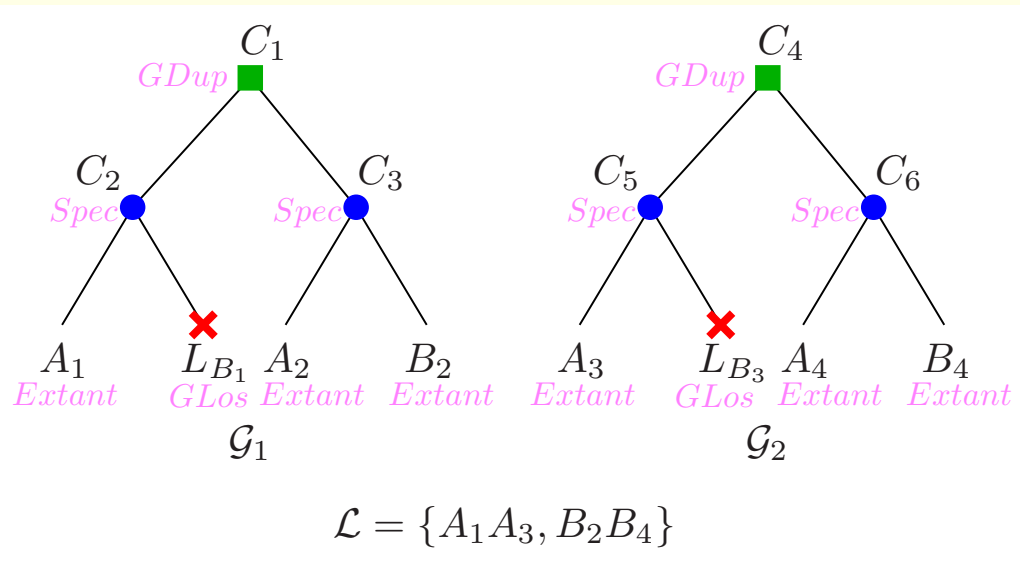
$$c_0(C_2, C_5) = \min \left\{ \begin{array}{l} c_0(A_1, A_3) + c_0(L_{B_1}, L_{B_3}) \\ c_1(A_1, A_3) + c_0(L_{B_1}, L_{B_3}) + C(\text{Gain}) \\ c_0(A_1, A_3) + c_1(L_{B_1}, L_{B_3}) + C(\text{Gain}) \\ c_1(A_1, A_3) + c_1(L_{B_1}, L_{B_3}) + 2 * C(\text{Gain}) \end{array} \right.$$



c_0/c_1	A_3	LB_3	A_4	B_4	C_5	C_6	C_4
A_1	$\infty/0$	X	$0/\infty$	X	X	X	X
LB_1	X	$0/0$	X	$0/0$	X	X	X
A_2	$0/\infty$	X	$0/\infty$	X	X	X	X
B_2	X	$0/0$	X	$\infty/0$	X	X	X
C_2	X	X	X	X	$/0$		
C_3	X	X	X	X			
C_1	X	X	X	X			

- C_2-C_5 : cas 5. *Spec/Spec*

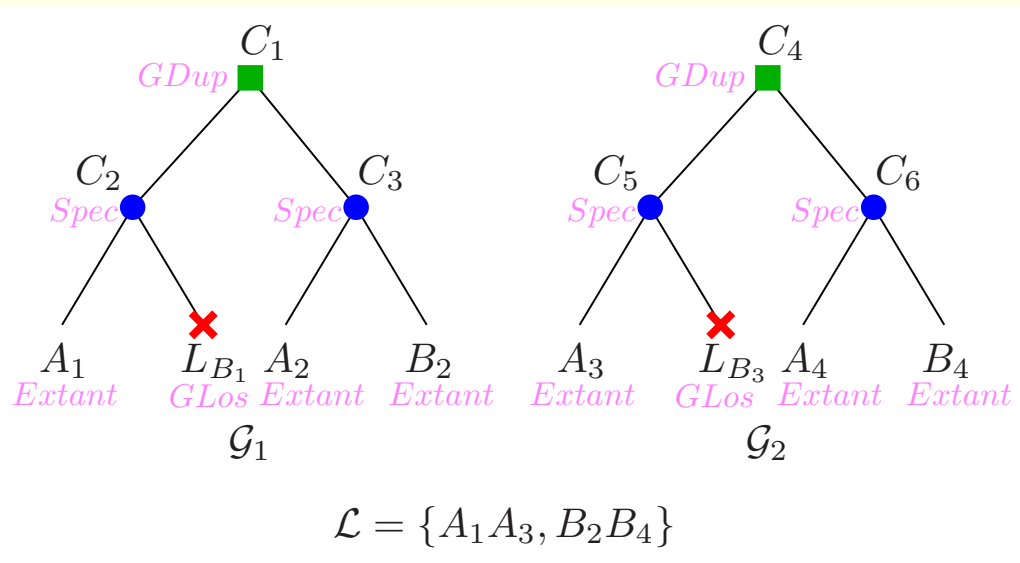
$$c_0(C_2, C_5) = \min \left\{ \begin{array}{l} \infty + 0 \\ 0 + 0 + 1 \\ \infty + 0 + 1 \\ 0 + 0 + 2 \end{array} \right.$$



c_0/c_1	A_3	LB_3	A_4	B_4	C_5	C_6	C_4
A_1	$\infty/0$	X	$0/\infty$	X	X	X	X
LB_1	X	$0/0$	X	$0/0$	X	X	X
A_2	$0/\infty$	X	$0/\infty$	X	X	X	X
B_2	X	$0/0$	X	$\infty/0$	X	X	X
C_2	X	X	X	X	$1/0$		
C_3	X	X	X	X			
C_1	X	X	X	X			

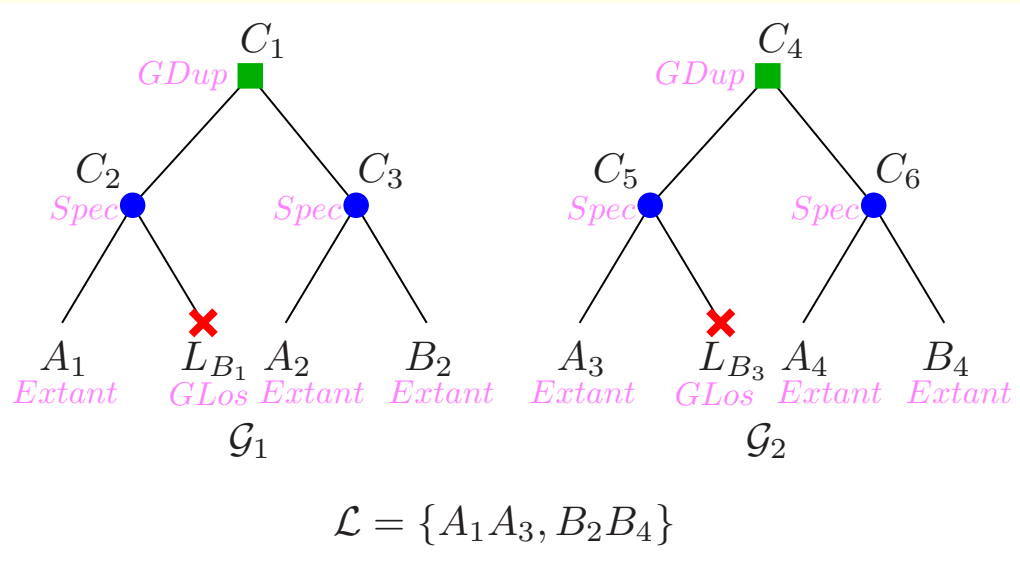
- C_2-C_5 : cas 5. *Spec/Spec*

$$c_0(C_2, C_5) = \min \left\{ \begin{array}{l} \infty + 0 \\ 0 + 0 + 1 \\ \infty + 0 + 1 \\ 0 + 0 + 2 \end{array} \right.$$



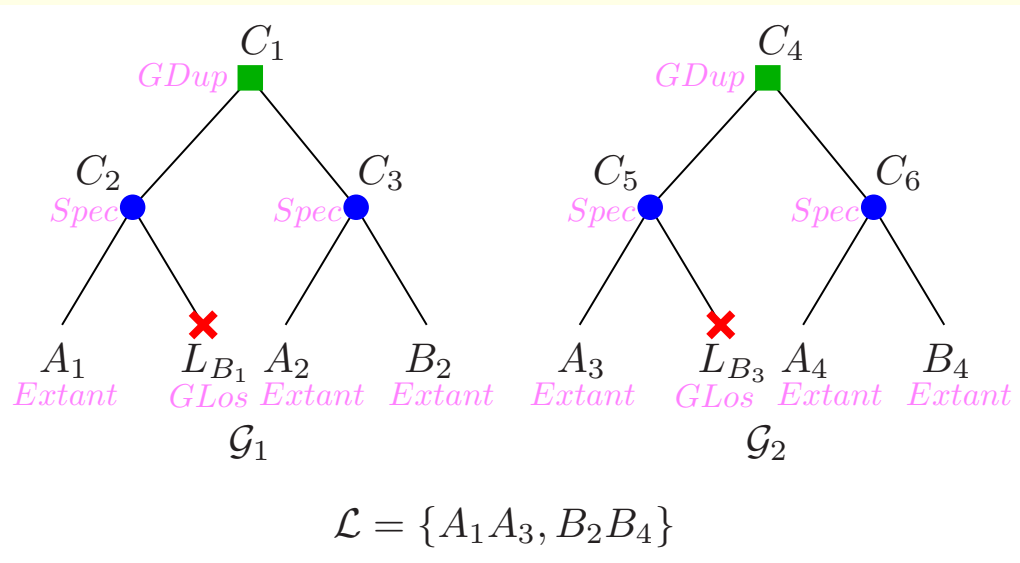
c_0/c_1	A_3	L_{B_3}	A_4	B_4	C_5	C_6	C_4
A_1	$\infty/0$	X	$0/\infty$	X	X	X	X
L_{B_1}	X	$0/0$	X	$0/0$	X	X	X
A_2	$0/\infty$	X	$0/\infty$	X	X	X	X
B_2	X	$0/0$	X	$\infty/0$	X	X	X
C_2	X	X	X	X	$1/0$		
C_3	X	X	X	X			
C_1	X	X	X	X			

- C_2-C_6 : cas 5. *Spec/Spec*



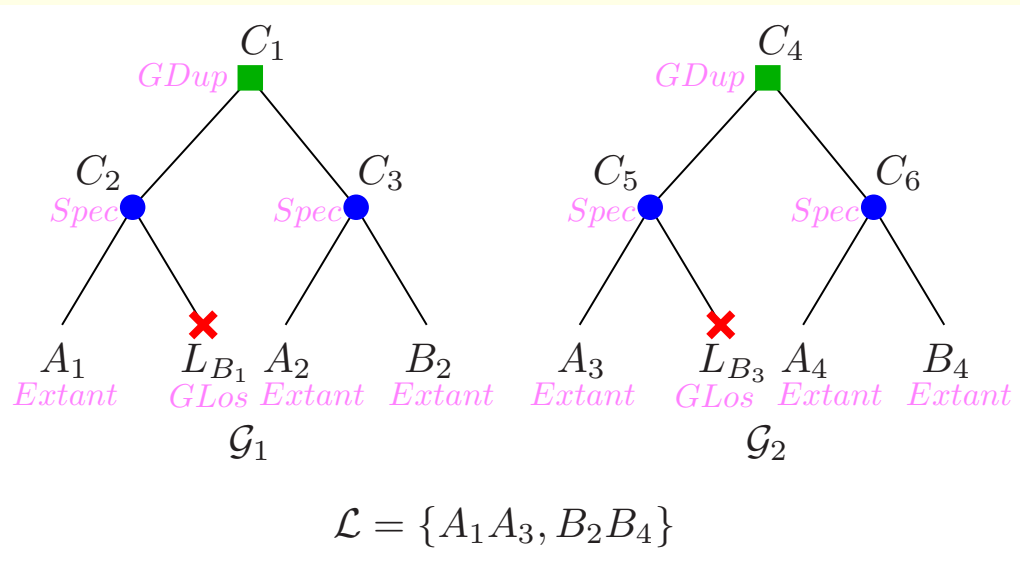
c_0/c_1	A_3	LB_3	A_4	B_4	C_5	C_6	C_4
A_1	$\infty/0$	X	$0/\infty$	X	X	X	X
LB_1	X	$0/0$	X	$0/0$	X	X	X
A_2	$0/\infty$	X	$0/\infty$	X	X	X	X
B_2	X	$0/0$	X	$\infty/0$	X	X	X
C_2	X	X	X	X	$1/0$	$0/1$	
C_3	X	X	X	X			
C_1	X	X	X	X			

- C_2-C_6 : cas 5. *Spec/Spec*



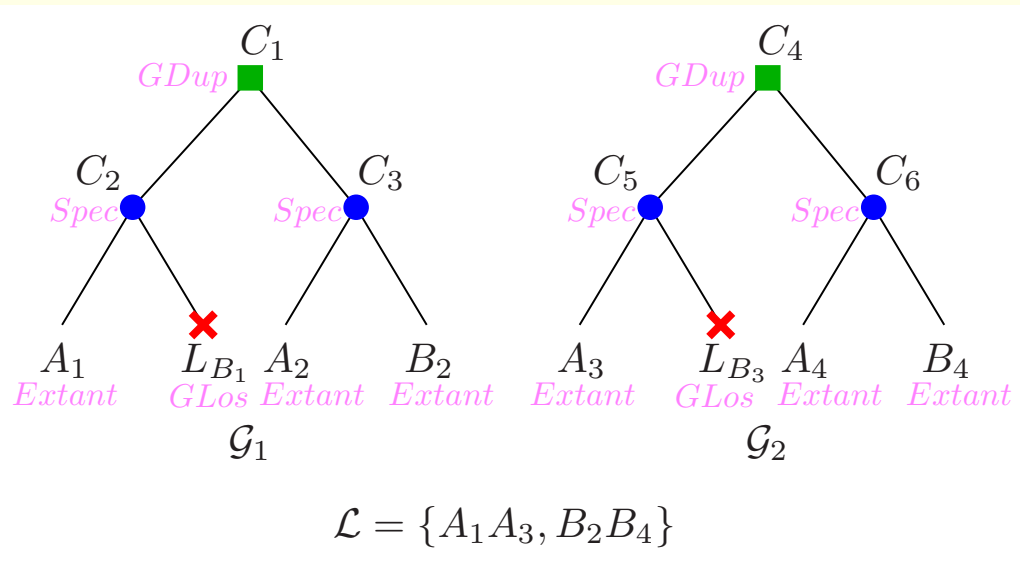
c_0/c_1	A_3	LB_3	A_4	B_4	C_5	C_6	C_4
A_1	$\infty/0$	X	$0/\infty$	X	X	X	X
LB_1	X	$0/0$	X	$0/0$	X	X	X
A_2	$0/\infty$	X	$0/\infty$	X	X	X	X
B_2	X	$0/0$	X	$\infty/0$	X	X	X
C_2	X	X	X	X	$1/0$	$0/1$	
C_3	X	X	X	X			
C_1	X	X	X	X			

- C_2-C_6 : cas 5. *Spec/Spec*
- C_2-C_4 : cas 4. *Spec/GDup*



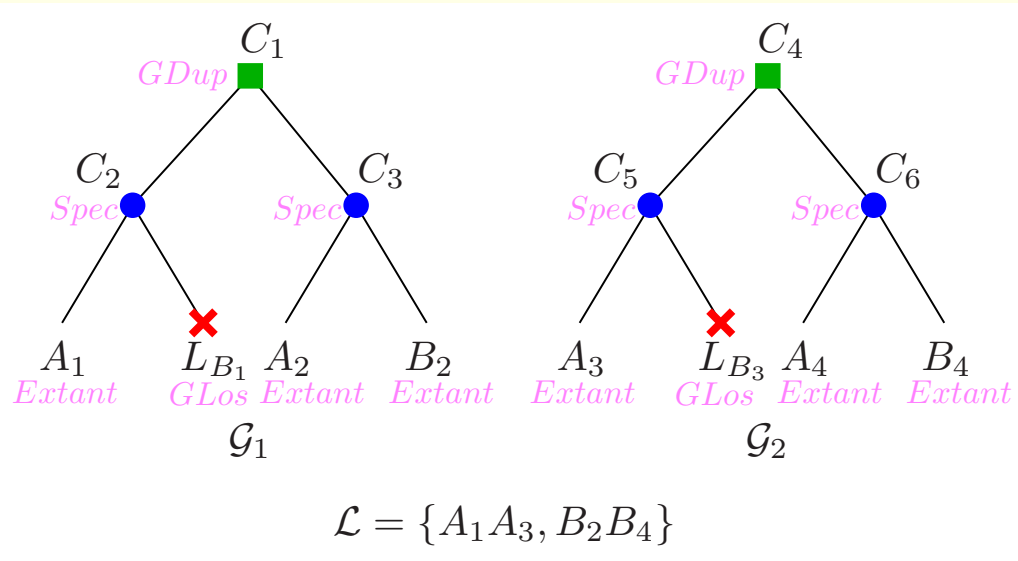
c_0/c_1	A_3	LB_3	A_4	B_4	C_5	C_6	C_4
A_1	$\infty/0$	X	$0/\infty$	X	X	X	X
LB_1	X	$0/0$	X	$0/0$	X	X	X
A_2	$0/\infty$	X	$0/\infty$	X	X	X	X
B_2	X	$0/0$	X	$\infty/0$	X	X	X
C_2	X	X	X	X	$1/0$	$0/1$	$1/0$
C_3	X	X	X	X			
C_1	X	X	X	X			

- C_2-C_6 : cas 5. *Spec/Spec*
- C_2-C_4 : cas 4. *Spec/GDup*



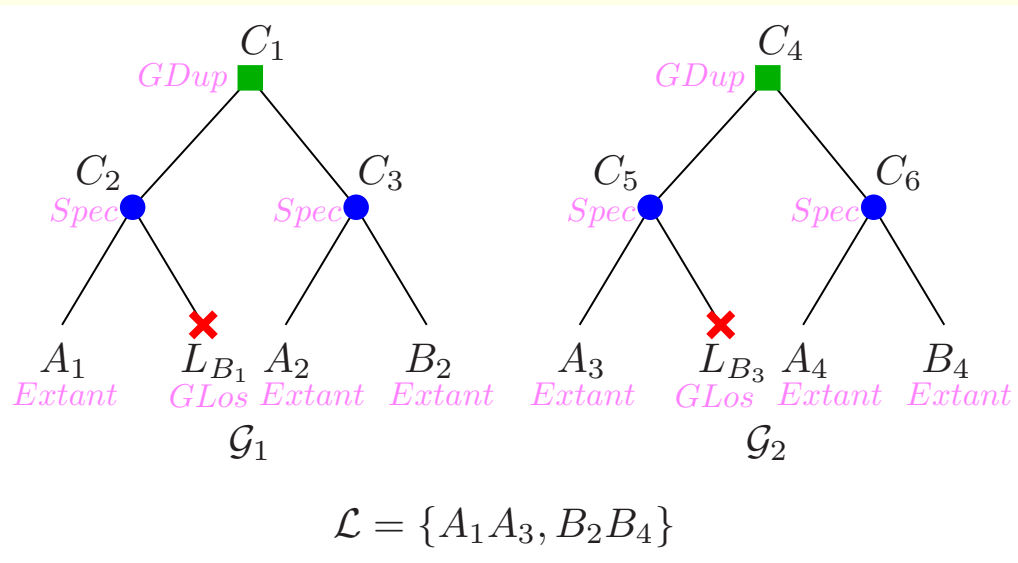
c_0/c_1	A_3	LB_3	A_4	B_4	C_5	C_6	C_4
A_1	$\infty/0$	×	$0/\infty$	×	×	×	×
LB_1	×	$0/0$	×	$0/0$	×	×	×
A_2	$0/\infty$	×	$0/\infty$	×	×	×	×
B_2	×	$0/0$	×	$\infty/0$	×	×	×
C_2	×	×	×	×	$1/0$	$0/1$	$1/0$
C_3	×	×	×	×			
C_1	×	×	×	×			

- C_2-C_6 : cas 5. *Spec/Spec*
- C_2-C_4 : cas 4. *Spec/GDup*
- C_3-C_5 & C_3-C_6 : cas 5. *Spec/Spec*



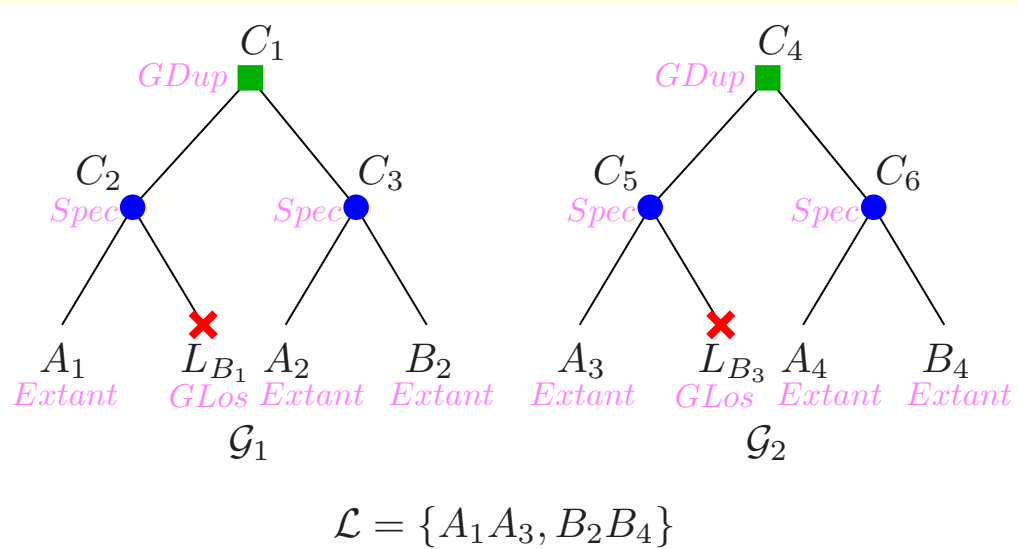
c_0/c_1	A_3	LB_3	A_4	B_4	C_5	C_6	C_4
A_1	$\infty/0$	X	$0/\infty$	X	X	X	X
LB_1	X	$0/0$	X	$0/0$	X	X	X
A_2	$0/\infty$	X	$0/\infty$	X	X	X	X
B_2	X	$0/0$	X	$\infty/0$	X	X	X
C_2	X	X	X	X	$1/0$	$0/1$	$1/0$
C_3	X	X	X	X	$0/1$	$1/1$	
C_1	X	X	X	X			

- C_2-C_6 : cas 5. *Spec/Spec*
- C_2-C_4 : cas 4. *Spec/GDup*
- C_3-C_5 & C_3-C_6 : cas 5. *Spec/Spec*



c_0/c_1	A_3	L_{B_3}	A_4	B_4	C_5	C_6	C_4
A_1	$\infty/0$	×	$0/\infty$	×	×	×	×
L_{B_1}	×	$0/0$	×	$0/0$	×	×	×
A_2	$0/\infty$	×	$0/\infty$	×	×	×	×
B_2	×	$0/0$	×	$\infty/0$	×	×	×
C_2	×	×	×	×	$1/0$	$0/1$	$1/0$
C_3	×	×	×	×	$0/1$	$1/1$	
C_1	×	×	×	×			

- C_2-C_6 : cas 5. *Spec/Spec*
- C_2-C_4 : cas 4. *Spec/GDup*
- C_3-C_5 & C_3-C_6 : cas 5. *Spec/Spec*
- C_3-C_4 , C_1-C_5 & C_1-C_6 : cas 4. *Spec/GDup*



c_0/c_1	A_3	LB_3	A_4	B_4	C_5	C_6	C_4
A_1	$\infty/0$	×	$0/\infty$	×	×	×	×
LB_1	×	$0/0$	×	$0/0$	×	×	×
A_2	$0/\infty$	×	$0/\infty$	×	×	×	×
B_2	×	$0/0$	×	$\infty/0$	×	×	×
C_2	×	×	×	×	$1/0$	$0/1$	$1/0$
C_3	×	×	×	×	$0/1$	$1/1$	$1/1$
C_1	×	×	×	×	$1/0$	$1/1$	

- C_2-C_6 : cas 5. *Spec/Spec*
- C_2-C_4 : cas 4. *Spec/GDup*
- C_3-C_5 & C_3-C_6 : cas 5. *Spec/Spec*
- C_3-C_4 , C_1-C_5 & C_1-C_6 : cas 4. *Spec/GDup*

Remarque : On n'examine pas le cas $E(n_1) = Extant$ et $E(n_2) = Spec$ car $S(n_1) \neq S(n_2)$

6. $E(n_1) = GDup$ and $E(n_2) = GDup$

$$c_1(n_1, n_2) = \min(D1, D2, D12)$$

Remarque : On n'examine pas le cas $E(n_1) = Extant$ et $E(n_2) = Spec$ car $S(n_1) \neq S(n_2)$

6. $E(n_1) = GDup$ and $E(n_2) = GDup$

$$c_1(n_1, n_2) = \min(D1, D2, D12)$$

D1 : cas où n_1 se duplique avant n_2

$$D1 = \min \begin{cases} c_1(fg(n_1), n_2) & + & c_0(fd(n_1), n_2) \\ c_0(fg(n_1), n_2) & + & c_1(fd(n_1), n_2) \\ c_1(fg(n_1), n_2) & + & c_1(fd(n_1), n_2) & + & C(Gain) \\ c_0(fg(n_1), n_2) & + & c_0(fd(n_1), n_2) & + & C(Break) \end{cases}$$

Remarque : On n'examine pas le cas $E(n_1) = Extant$ et $E(n_2) = Spec$ car $S(n_1) \neq S(n_2)$

6. $E(n_1) = GDup$ and $E(n_2) = GDup$

$$c_1(n_1, n_2) = \min(D1, D2, D12)$$

D1 : cas où n_1 se duplique avant n_2

$$D1 = \min \begin{cases} c_1(fg(n_1), n_2) & + & c_0(fd(n_1), n_2) \\ c_0(fg(n_1), n_2) & + & c_1(fd(n_1), n_2) \\ c_1(fg(n_1), n_2) & + & c_1(fd(n_1), n_2) & + & C(Gain) \\ c_0(fg(n_1), n_2) & + & c_0(fd(n_1), n_2) & + & C(Break) \end{cases}$$

D2 : cas où n_2 se duplique avant n_1

$$D2 = \min \begin{cases} c_1(n_1, fg(n_2)) & + & c_0(n_1, fd(n_2)) \\ c_0(n_1, fg(n_2)) & + & c_1(n_1, fd(n_2)) \\ c_1(n_1, fg(n_2)) & + & c_1(n_1, fd(n_2)) & + & C(Gain) \\ c_0(n_1, fg(n_2)) & + & c_0(n_1, fd(n_2)) & + & C(Break) \end{cases}$$

D12 : cas où n_1 et n_2 se dupliquent en même temps (16 cas)

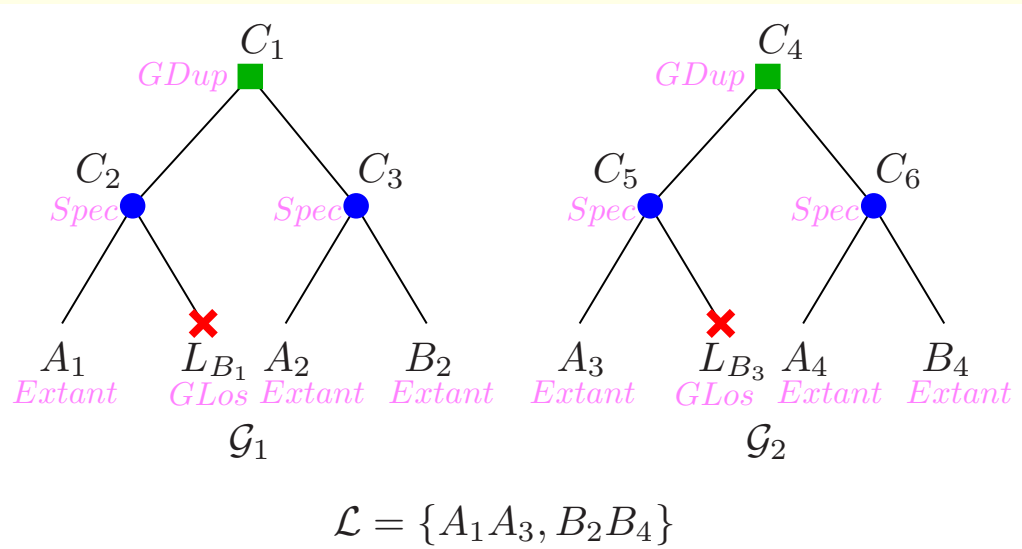
$$D12 = \min \left\{ \begin{array}{l} c_1(fg(n_1), fg(n_2)) + c_1(fd(n_1), fd(n_2)) + c_0(fg(n_1), fd(n_2)) + c_0(fd(n_1), fg(n_2)) \\ c_1(fg(n_1), fg(n_2)) + c_1(fd(n_1), fd(n_2)) + c_0(fg(n_1), fd(n_2)) + c_1(fd(n_1), fg(n_2)) + C(\text{Gain}) \\ c_1(fg(n_1), fg(n_2)) + c_1(fd(n_1), fd(n_2)) + c_1(fg(n_1), fd(n_2)) + c_0(fd(n_1), fg(n_2)) + C(\text{Gain}) \\ c_1(fg(n_1), fg(n_2)) + c_1(fd(n_1), fd(n_2)) + c_1(fg(n_1), fd(n_2)) + c_1(fd(n_1), fg(n_2)) + 2 * C(\text{Gain}) \\ c_1(fg(n_1), fg(n_2)) + c_0(fd(n_1), fd(n_2)) + c_0(fg(n_1), fd(n_2)) + c_0(fd(n_1), fg(n_2)) + C(\text{Break}) \\ c_1(fg(n_1), fg(n_2)) + c_0(fd(n_1), fd(n_2)) + c_0(fg(n_1), fd(n_2)) + c_1(fd(n_1), fg(n_2)) + C(\text{Gain}) + C(\text{Break}) \\ c_1(fg(n_1), fg(n_2)) + c_0(fd(n_1), fd(n_2)) + c_1(fg(n_1), fd(n_2)) + c_0(fd(n_1), fg(n_2)) + C(\text{Gain}) + C(\text{Break}) \\ c_0(fg(n_1), fg(n_2)) + c_1(fd(n_1), fd(n_2)) + c_0(fg(n_1), fd(n_2)) + c_0(fd(n_1), fg(n_2)) + C(\text{Break}) \\ c_0(fg(n_1), fg(n_2)) + c_1(fd(n_1), fd(n_2)) + c_0(fg(n_1), fd(n_2)) + c_1(fd(n_1), fg(n_2)) + C(\text{Gain}) + C(\text{Break}) \\ c_0(fg(n_1), fg(n_2)) + c_1(fd(n_1), fd(n_2)) + c_1(fg(n_1), fd(n_2)) + c_0(fd(n_1), fg(n_2)) + C(\text{Gain}) + C(\text{Break}) \\ c_0(fg(n_1), fg(n_2)) + c_0(fd(n_1), fd(n_2)) + c_1(fg(n_1), fd(n_2)) + c_1(fd(n_1), fg(n_2)) \\ c_0(fg(n_1), fg(n_2)) + c_1(fd(n_1), fd(n_2)) + c_1(fg(n_1), fd(n_2)) + c_1(fd(n_1), fg(n_2)) + C(\text{Gain}) \\ c_1(fg(n_1), fg(n_2)) + c_0(fd(n_1), fd(n_2)) + c_1(fg(n_1), fd(n_2)) + c_1(fd(n_1), fg(n_2)) + C(\text{Gain}) \\ c_0(fg(n_1), fg(n_2)) + c_0(fd(n_1), fd(n_2)) + c_1(fg(n_1), fd(n_2)) + c_0(fd(n_1), fg(n_2)) + C(\text{Break}) \\ c_0(fg(n_1), fg(n_2)) + c_0(fd(n_1), fd(n_2)) + c_0(fg(n_1), fd(n_2)) + c_1(fd(n_1), fg(n_2)) + C(\text{Break}) \\ c_0(fg(n_1), fg(n_2)) + c_0(fd(n_1), fd(n_2)) + c_0(fg(n_1), fd(n_2)) + c_0(fd(n_1), fg(n_2)) + 2 * C(\text{Break}) \end{array} \right.$$

D12 : cas où n_1 et n_2 se dupliquent en même temps (16 cas)

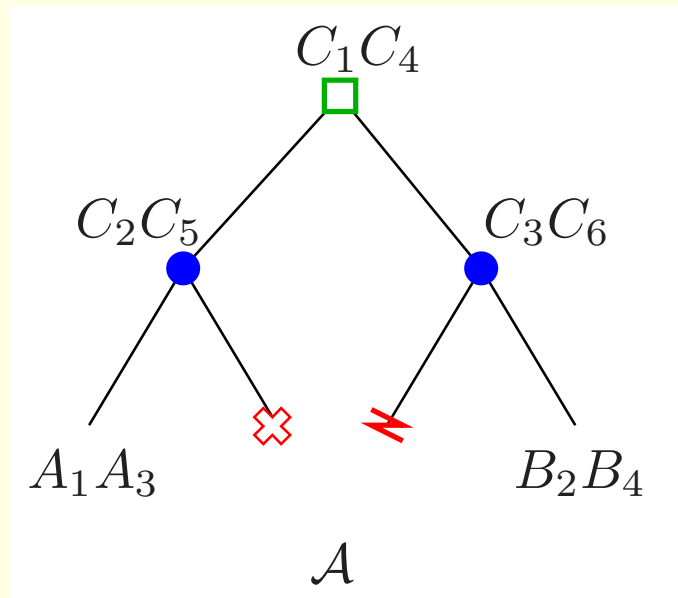
$$D_{12} = \min \left\{ \begin{array}{l} c_1(fg(n_1), fg(n_2)) + c_1(fd(n_1), fd(n_2)) + c_0(fg(n_1), fd(n_2)) + c_0(fd(n_1), fg(n_2)) \\ c_1(fg(n_1), fg(n_2)) + c_1(fd(n_1), fd(n_2)) + c_0(fg(n_1), fd(n_2)) + c_1(fd(n_1), fg(n_2)) + C(\text{Gain}) \\ c_1(fg(n_1), fg(n_2)) + c_1(fd(n_1), fd(n_2)) + c_1(fg(n_1), fd(n_2)) + c_0(fd(n_1), fg(n_2)) + C(\text{Gain}) \\ c_1(fg(n_1), fg(n_2)) + c_1(fd(n_1), fd(n_2)) + c_1(fg(n_1), fd(n_2)) + c_1(fd(n_1), fg(n_2)) + 2 * C(\text{Gain}) \\ c_1(fg(n_1), fg(n_2)) + c_0(fd(n_1), fd(n_2)) + c_0(fg(n_1), fd(n_2)) + c_0(fd(n_1), fg(n_2)) + C(\text{Break}) \\ c_1(fg(n_1), fg(n_2)) + c_0(fd(n_1), fd(n_2)) + c_0(fg(n_1), fd(n_2)) + c_1(fd(n_1), fg(n_2)) + C(\text{Gain}) + C(\text{Break}) \\ c_1(fg(n_1), fg(n_2)) + c_0(fd(n_1), fd(n_2)) + c_1(fg(n_1), fd(n_2)) + c_0(fd(n_1), fg(n_2)) + C(\text{Gain}) + C(\text{Break}) \\ c_0(fg(n_1), fg(n_2)) + c_1(fd(n_1), fd(n_2)) + c_0(fg(n_1), fd(n_2)) + c_0(fd(n_1), fg(n_2)) + C(\text{Break}) \\ c_0(fg(n_1), fg(n_2)) + c_1(fd(n_1), fd(n_2)) + c_0(fg(n_1), fd(n_2)) + c_1(fd(n_1), fg(n_2)) + C(\text{Gain}) + C(\text{Break}) \\ c_0(fg(n_1), fg(n_2)) + c_1(fd(n_1), fd(n_2)) + c_1(fg(n_1), fd(n_2)) + c_0(fd(n_1), fg(n_2)) + C(\text{Gain}) + C(\text{Break}) \\ c_0(fg(n_1), fg(n_2)) + c_0(fd(n_1), fd(n_2)) + c_1(fg(n_1), fd(n_2)) + c_1(fd(n_1), fg(n_2)) \\ c_0(fg(n_1), fg(n_2)) + c_1(fd(n_1), fd(n_2)) + c_1(fg(n_1), fd(n_2)) + c_1(fd(n_1), fg(n_2)) + C(\text{Gain}) \\ c_1(fg(n_1), fg(n_2)) + c_0(fd(n_1), fd(n_2)) + c_1(fg(n_1), fd(n_2)) + c_1(fd(n_1), fg(n_2)) + C(\text{Gain}) \\ c_0(fg(n_1), fg(n_2)) + c_0(fd(n_1), fd(n_2)) + c_1(fg(n_1), fd(n_2)) + c_0(fd(n_1), fg(n_2)) + C(\text{Break}) \\ c_0(fg(n_1), fg(n_2)) + c_0(fd(n_1), fd(n_2)) + c_0(fg(n_1), fd(n_2)) + c_1(fd(n_1), fg(n_2)) + C(\text{Break}) \\ c_0(fg(n_1), fg(n_2)) + c_0(fd(n_1), fd(n_2)) + c_0(fg(n_1), fd(n_2)) + c_0(fd(n_1), fg(n_2)) + 2 * C(\text{Break}) \end{array} \right.$$

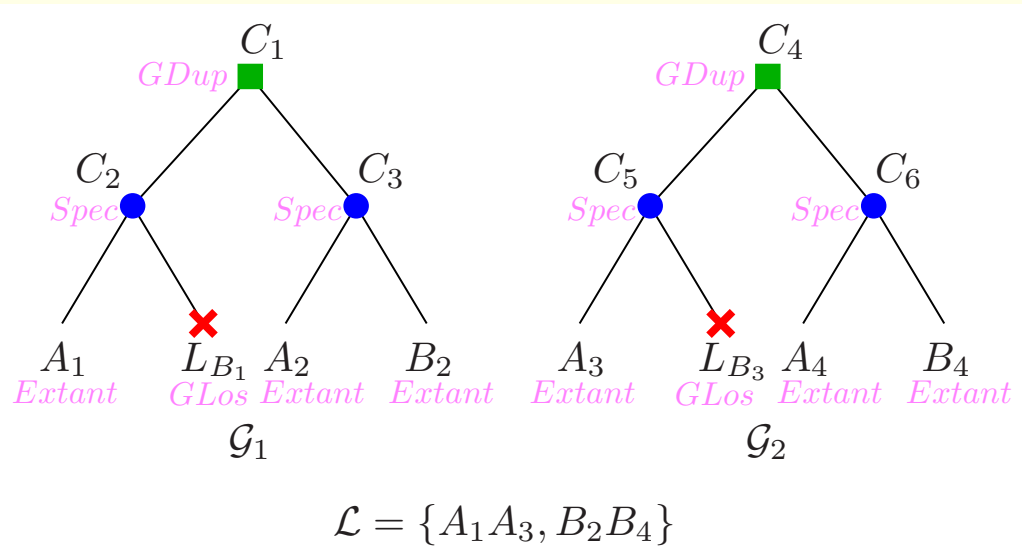
Coût c_0 pour le cas $GDup-GDup$:

$$c_0(n_1, n_2) \sim \min(D_{10}, D_{20})$$

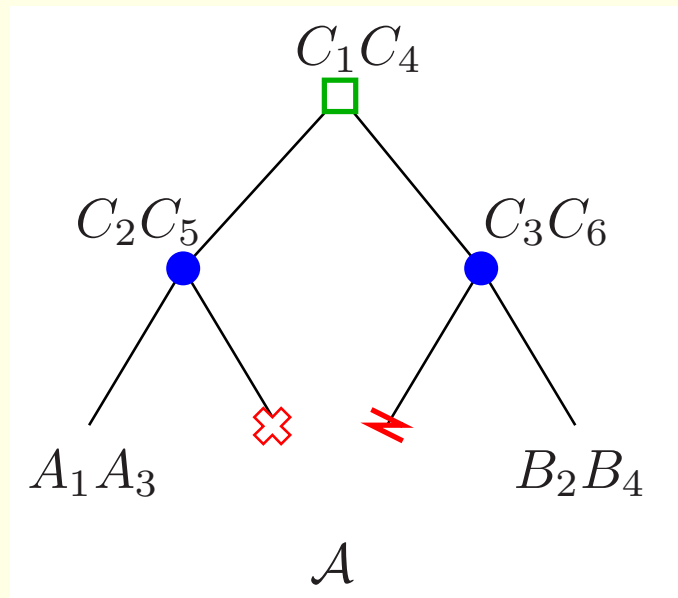


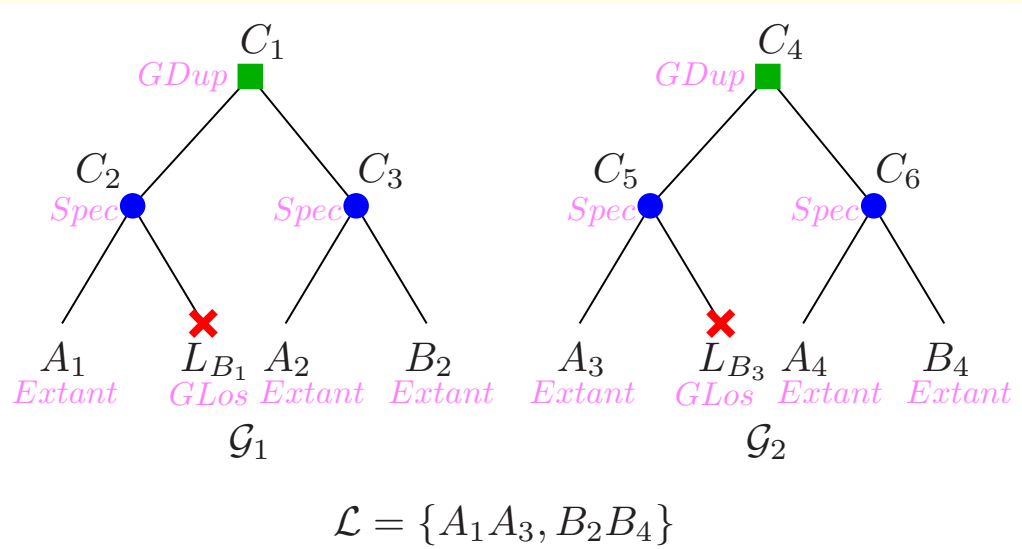
c_0/c_1	A_3	L_{B_3}	A_4	B_4	C_5	C_6	C_4
A_1	$\infty/0$	×	$0/\infty$	×	×	×	×
L_{B_1}	×	$0/0$	×	$0/0$	×	×	×
A_2	$0/\infty$	×	$0/\infty$	×	×	×	×
B_2	×	$0/0$	×	$\infty/0$	×	×	×
C_2	×	×	×	×	$1/0$	$0/1$	$1/0$
C_3	×	×	×	×	$0/1$	$1/1$	$1/1$
C_1	×	×	×	×	$1/0$	$1/1$	$2/1$



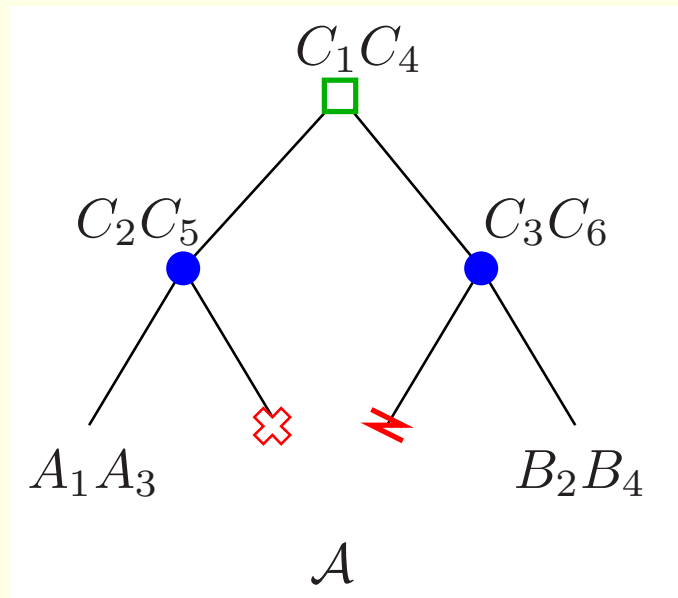


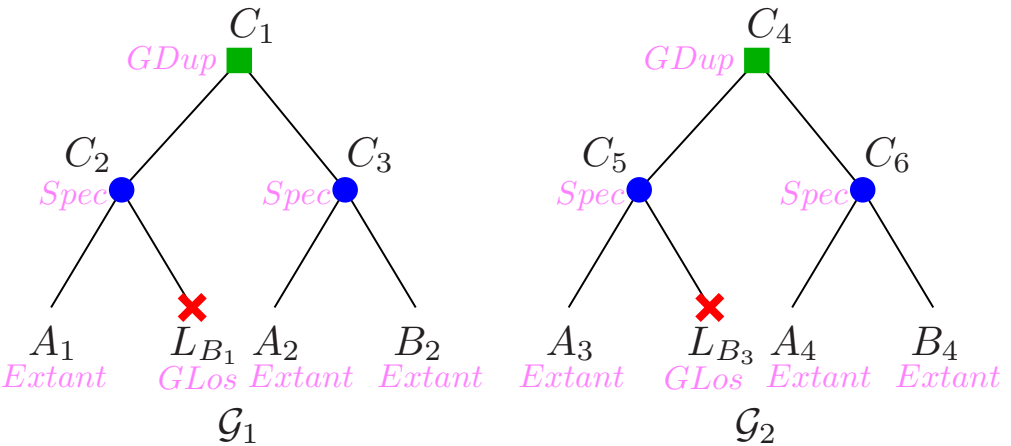
c_0/c_1	A_3	L_{B_3}	A_4	B_4	C_5	C_6	C_4
A_1	$\infty/0$	×	$0/\infty$	×	×	×	×
L_{B_1}	×	$0/0$	×	$0/0$	×	×	×
A_2	$0/\infty$	×	$0/\infty$	×	×	×	×
B_2	×	$0/0$	×	$\infty/0$	×	×	×
C_2	×	×	×	×	$1/0$	$0/1$	$1/0$
C_3	×	×	×	×	$0/1$	$1/1$	$1/1$
C_1	×	×	×	×	$1/0$	$1/1$	$2/1$





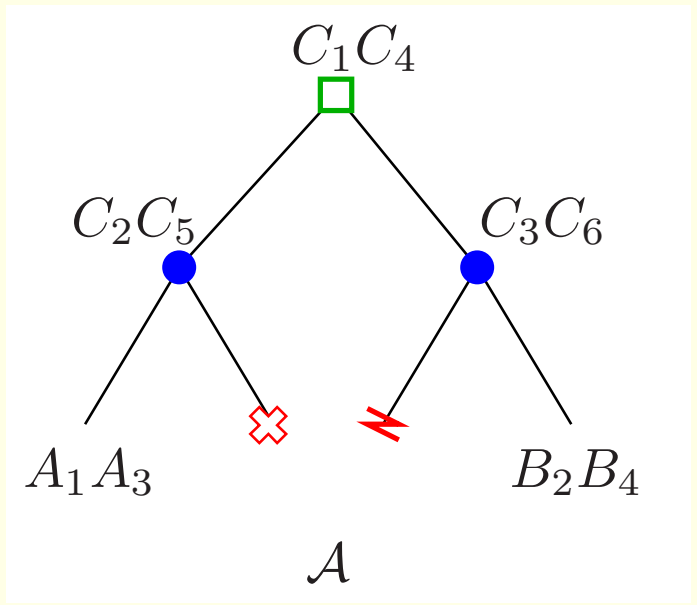
c_0/c_1	A_3	L_{B_3}	A_4	B_4	C_5	C_6	C_4
A_1	$\infty/0$	×	$0/\infty$	×	×	×	×
L_{B_1}	×	$0/0$	×	$0/0$	×	×	×
A_2	$0/\infty$	×	$0/\infty$	×	×	×	×
B_2	×	$0/0$	×	$\infty/0$	×	×	×
C_2	×	×	×	×	$1/0$	$0/1$	$1/0$
C_3	×	×	×	×	$0/1$	$1/1$	$1/1$
C_1	×	×	×	×	$1/0$	$1/1$	$2/1$

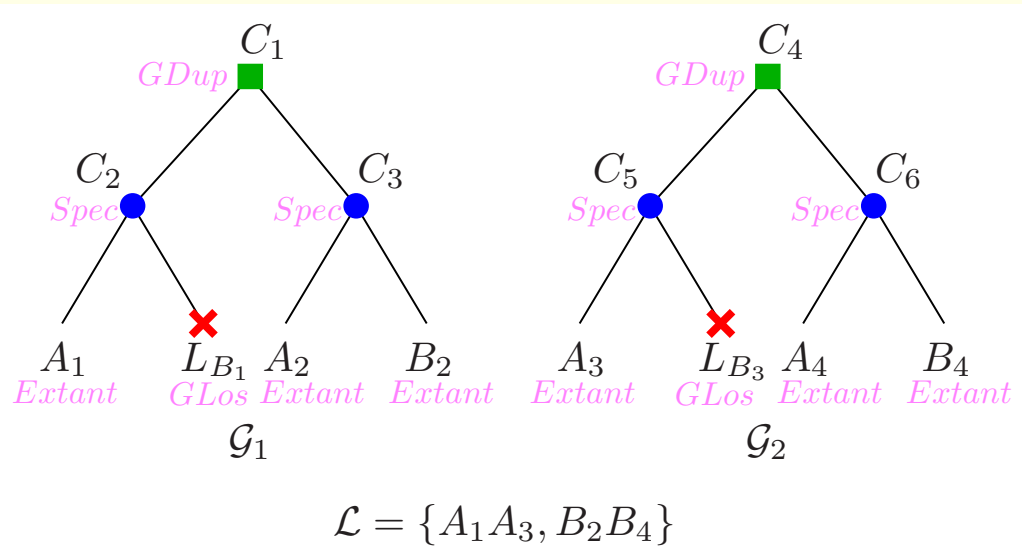




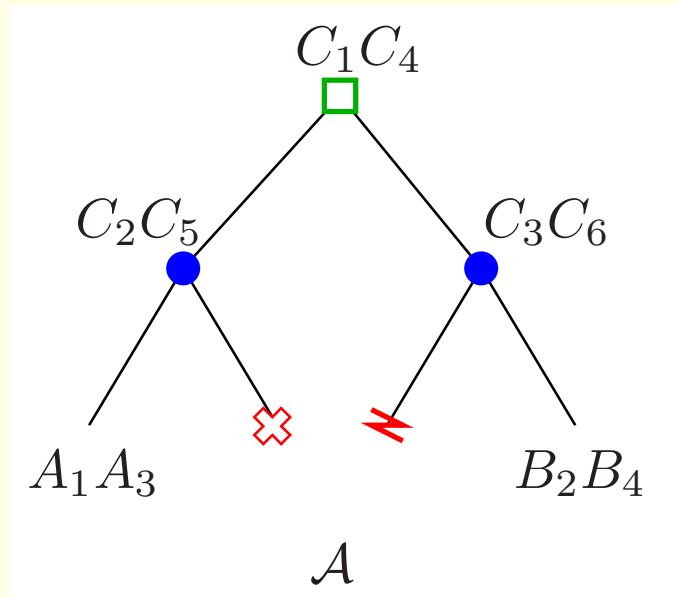
$$\mathcal{L} = \{A_1A_3, B_2B_4\}$$

c_0/c_1	A_3	L_{B_3}	A_4	B_4	C_5	C_6	C_4
A_1	$\infty/0$	X	$0/\infty$	X	X	X	X
L_{B_1}	X	$0/0$	X	$0/0$	X	X	X
A_2	$0/\infty$	X	$0/\infty$	X	X	X	X
B_2	X	$0/0$	X	$\infty/0$	X	X	X
C_2	X	X	X	X	$1/0$	$0/1$	$1/0$
C_3	X	X	X	X	$0/1$	$1/1$	$1/1$
C_1	X	X	X	X	$1/0$	$1/1$	$2/1$





c_0/c_1	A_3	L_{B_3}	A_4	B_4	C_5	C_6	C_4
A_1	$\infty/0$	X	$0/\infty$	X	X	X	X
L_{B_1}	X	$0/0$	X	$0/0$	X	X	X
A_2	$0/\infty$	X	$0/\infty$	X	X	X	X
B_2	X	$0/0$	X	$\infty/0$	X	X	X
C_2	X	X	X	X	$1/0$	$0/1$	$1/0$
C_3	X	X	X	X	$0/1$	$1/1$	$1/1$
C_1	X	X	X	X	$1/0$	$1/1$	$2/1$



- DeCo gère les pertes et les duplications de gènes (sans besoin de les ordonner), ainsi que des familles de gènes sans restriction d'un seul représentant pas espèce

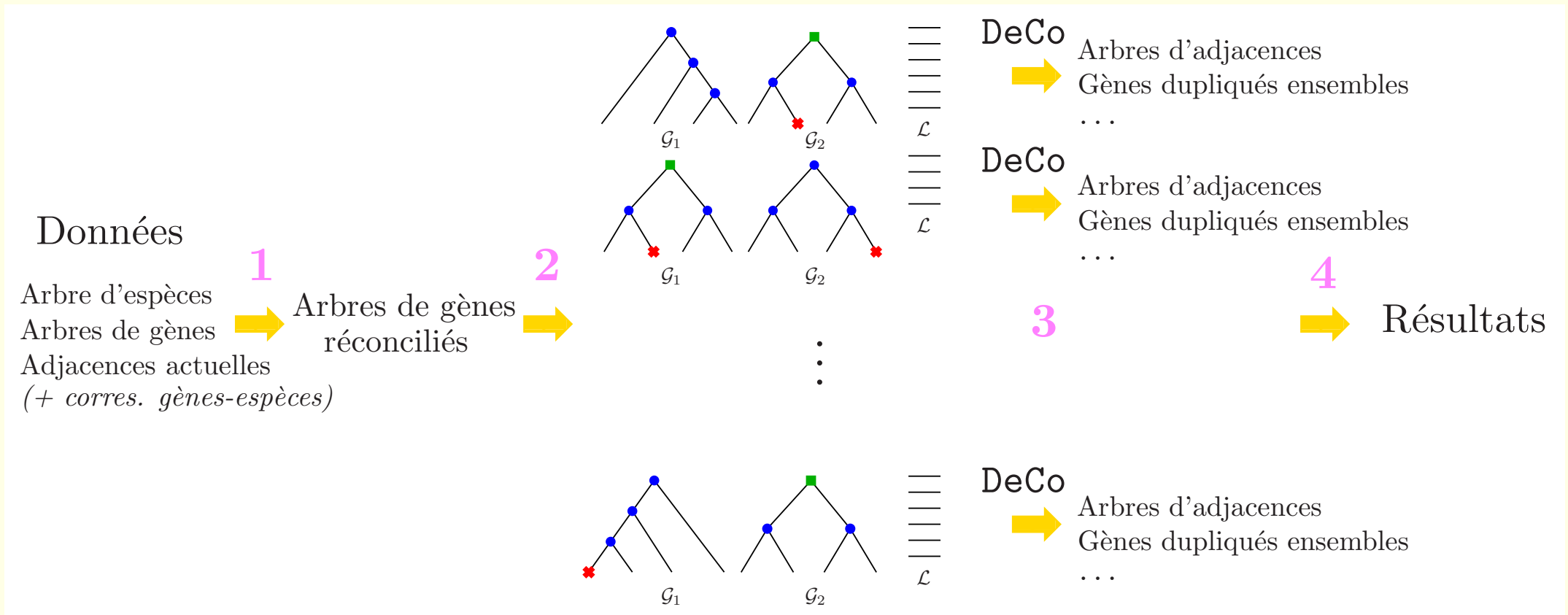
-
- DeCo gère les pertes et les duplications de gènes (sans besoin de les ordonner), ainsi que des familles de gènes sans restriction d'un seul représentant pas espèce
 - Algorithme exact : on minimise le nombre de cassures et de créations d'adjacence

-
- DeCo gère les pertes et les duplications de gènes (sans besoin de les ordonner), ainsi que des familles de gènes sans restriction d'un seul représentant pas espèce
 - Algorithme exact : on minimise le nombre de cassures et de créations d'adjacence
 - Généralisation des algorithmes de parcimonie de Fitch-Sankoff sur un alphabet binaire

-
- DeCo gère les pertes et les duplications de gènes (sans besoin de les ordonner), ainsi que des familles de gènes sans restriction d'un seul représentant pas espèce
 - Algorithme exact : on minimise le nombre de cassures et de créations d'adjacence
 - Généralisation des algorithmes de parcimonie de Fitch-Sankoff sur un alphabet binaire
 - Hypothèse : les adjacences évoluent indépendamment
⇒ utilisation du principe de programmation dynamique

- DeCo gère les pertes et les duplications de gènes (sans besoin de les ordonner), ainsi que des familles de gènes sans restriction d'un seul représentant pas espèce
- Algorithme exact : on minimise le nombre de cassures et de créations d'adjacence
- Généralisation des algorithmes de parcimonie de Fitch-Sankoff sur un alphabet binaire
- Hypothèse : les adjacences évoluent indépendamment
⇒ utilisation du principe de programmation dynamique
- Complexité en temps et en espace en $O(n^2)$ où n est le nombre de nœuds d'un arbre de gènes

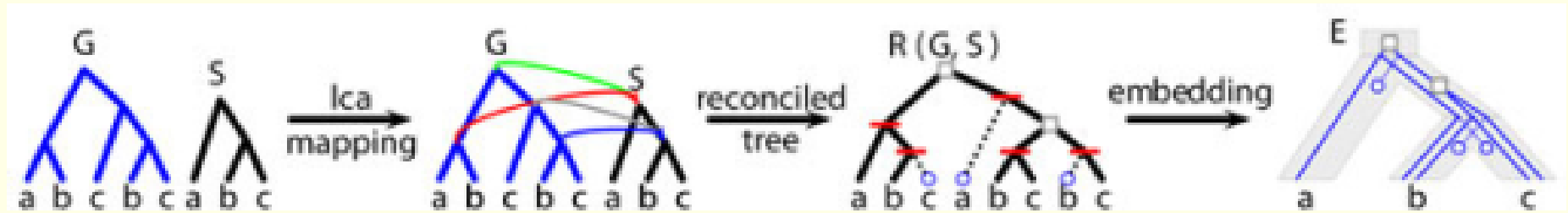
- DeCo gère les pertes et les duplications de gènes (sans besoin de les ordonner), ainsi que des familles de gènes sans restriction d'un seul représentant pas espèce
- Algorithme exact : on minimise le nombre de cassures et de créations d'adjacence
- Généralisation des algorithmes de parcimonie de Fitch-Sankoff sur un alphabet binaire
- Hypothèse : les adjacences évoluent indépendamment
⇒ utilisation du principe de programmation dynamique
- Complexité en temps et en espace en $O(n^2)$ où n est le nombre de nœuds d'un arbre de gènes
- Inclus dans un “pipeline” pour traiter le problème général



- 1 Réconciliation
- 2 Création des classes
- 3 DeCo
- 4 Synthèse

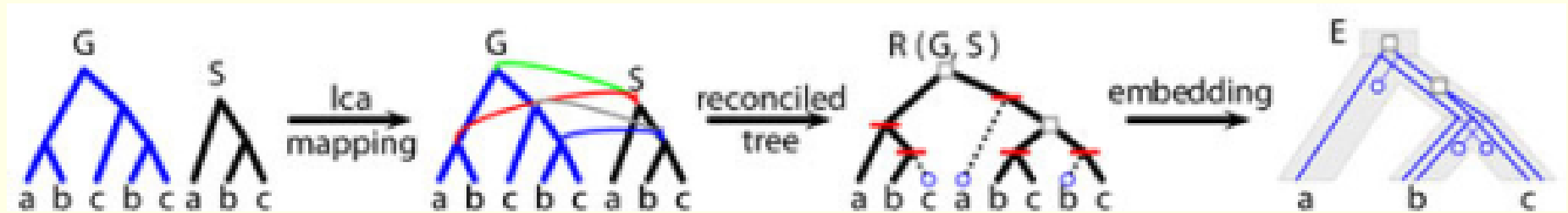
-
- Introduction
 - Modèle
 - Démarche
 - **Étape 1 : Réconciliation**
 - Étape 2 : Création des classes d'adjacences
 - Étape 3 : Algorithme DeCo
 - Étape 4 : Synthèse
 - Validation
 - Utilisation de DeCo pour l'assemblage : ARt-DeCo

- Réconciliation **LCA** (**L**east **C**ommon **A**ncestor)



- Solution unique
- Événements géniques pris en compte : duplications et pertes

- Réconciliation **LCA** (**L**east **C**ommon **A**ncestor)



- Solution unique
- Événements géniques pris en compte : duplications et pertes
- Constitue le “pré-traitement” : tous les arbres de gènes du jeu de donnée sont réconciliés avec l’arbre d’espèce \mathcal{S}
 - certains sont éliminés (non binaire par exemple)
 - d’autres effeuillés (gènes d’espèces $\notin \mathcal{S}$)

-
- Introduction
 - Modèle
 - Démarche
 - Étape 1 : Réconciliation
 - **Étape 2 : Création des classes d'adjacences**
 - Étape 3 : Algorithme DeCo
 - Étape 4 : Synthèse
 - Validation
 - Utilisation de DeCo pour l'assemblage : ARt-DeCo

- On groupe ensemble les adjacences qui peuvent avoir une origine évolutive commune

- On groupe ensemble les adjacences qui peuvent avoir une origine évolutive commune
- Analogie avec les familles de gènes :
 - une classe produit une forêt d'arbres d'adjacences
 - un arbre d'adjacences contient des adjacences homologues
 - ⇒ famille d'adjacences

- On groupe ensemble les adjacences qui peuvent avoir une origine évolutive commune
- Analogie avec les familles de gènes :
 - une classe produit une forêt d'arbres d'adjacences
 - un arbre d'adjacences contient des adjacences homologues
 - ⇒ famille d'adjacences
- Chaque classe est associée à exactement 2 arbres de gènes, ceux-ci peuvent-être des sous-arbres d'arbres passés en entrée

- On groupe ensemble les adjacences qui peuvent avoir une origine évolutive commune
- Analogie avec les familles de gènes :
 - une classe produit une forêt d'arbres d'adjacences
 - un arbre d'adjacences contient des adjacences homologues
 - ⇒ famille d'adjacences
- Chaque classe est associée à exactement 2 arbres de gènes, ceux-ci peuvent-être des sous-arbres d'arbres passés en entrée
- Les classes d'adjacences forment des classes d'équivalence (au sens mathématique)

Deux adjacences AB et CD sont dans la même classe d'équivalence si

- A et C sont dans le même arbre de gènes, noté \mathcal{G}_1 , ainsi que B et D , dans un arbre noté \mathcal{G}_2

Deux adjacences AB et CD sont dans la même classe d'équivalence si

- A et C sont dans le même arbre de gènes, noté \mathcal{G}_1 , ainsi que B et D , dans un arbre noté \mathcal{G}_2
- si A et B sont dans le même arbre de gènes ($\mathcal{G}_1 = \mathcal{G}_2$), alors $LCA(A, B) = LCA(C, D) = n_d$ (et c'est un nœud de duplication)

Deux adjacences AB et CD sont dans la même classe d'équivalence si

- A et C sont dans le même arbre de gènes, noté \mathcal{G}_1 , ainsi que B et D , dans un arbre noté \mathcal{G}_2
- si A et B sont dans le même arbre de gènes ($\mathcal{G}_1 = \mathcal{G}_2$), alors
 $LCA(A, B) = LCA(C, D) = n_d$ (et c'est un nœud de duplication)
- sinon, il existe 2 nœuds $n_1 \in \mathcal{G}_1, n_2 \in \mathcal{G}_2$ tels que
- $S(n_1) = S(n_2)$
 - A et C sont des descendants de n_1
 - B et D sont des descendants de n_2

Deux adjacences AB et CD sont dans la même classe d'équivalence si

- A et C sont dans le même arbre de gènes, noté \mathcal{G}_1 , ainsi que B et D , dans un arbre noté \mathcal{G}_2
- si A et B sont dans le même arbre de gènes ($\mathcal{G}_1 = \mathcal{G}_2$), alors $LCA(A, B) = LCA(C, D) = n_d$ (et c'est un nœud de duplication)
- sinon, il existe 2 nœuds $n_1 \in \mathcal{G}_1, n_2 \in \mathcal{G}_2$ tels que
- $S(n_1) = S(n_2)$
 - A et C sont des descendants de n_1
 - B et D sont des descendants de n_2

Les 2 arbres de gènes associés à cette classe sont soit

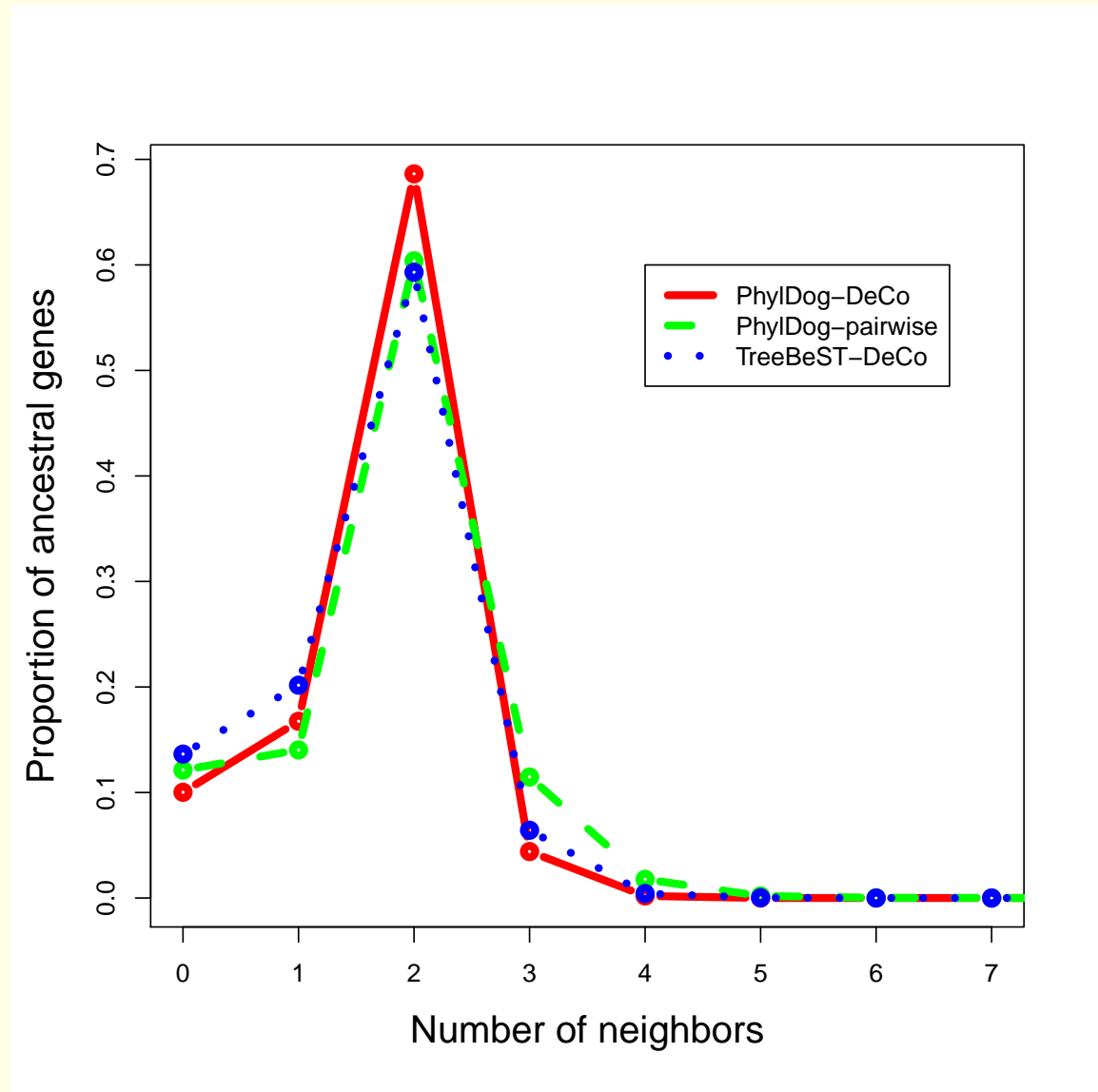
- les 2 sous-arbres de $\mathcal{G}_1 = \mathcal{G}_2$ enracinés aux fils de n_d
- le sous-arbre de \mathcal{G}_1 enraciné à n_1 et le sous-arbre de \mathcal{G}_2 enraciné à n_2

-
- Introduction
 - Modèle
 - Démarche
 - Étape 1 : Réconciliation
 - Étape 2 : Création des classes d'adjacences
 - Étape 3 : Algorithme DeCo
 - **Étape 4 : Synthèse**
 - Validation
 - Utilisation de DeCo pour l'assemblage : ARt-DeCo

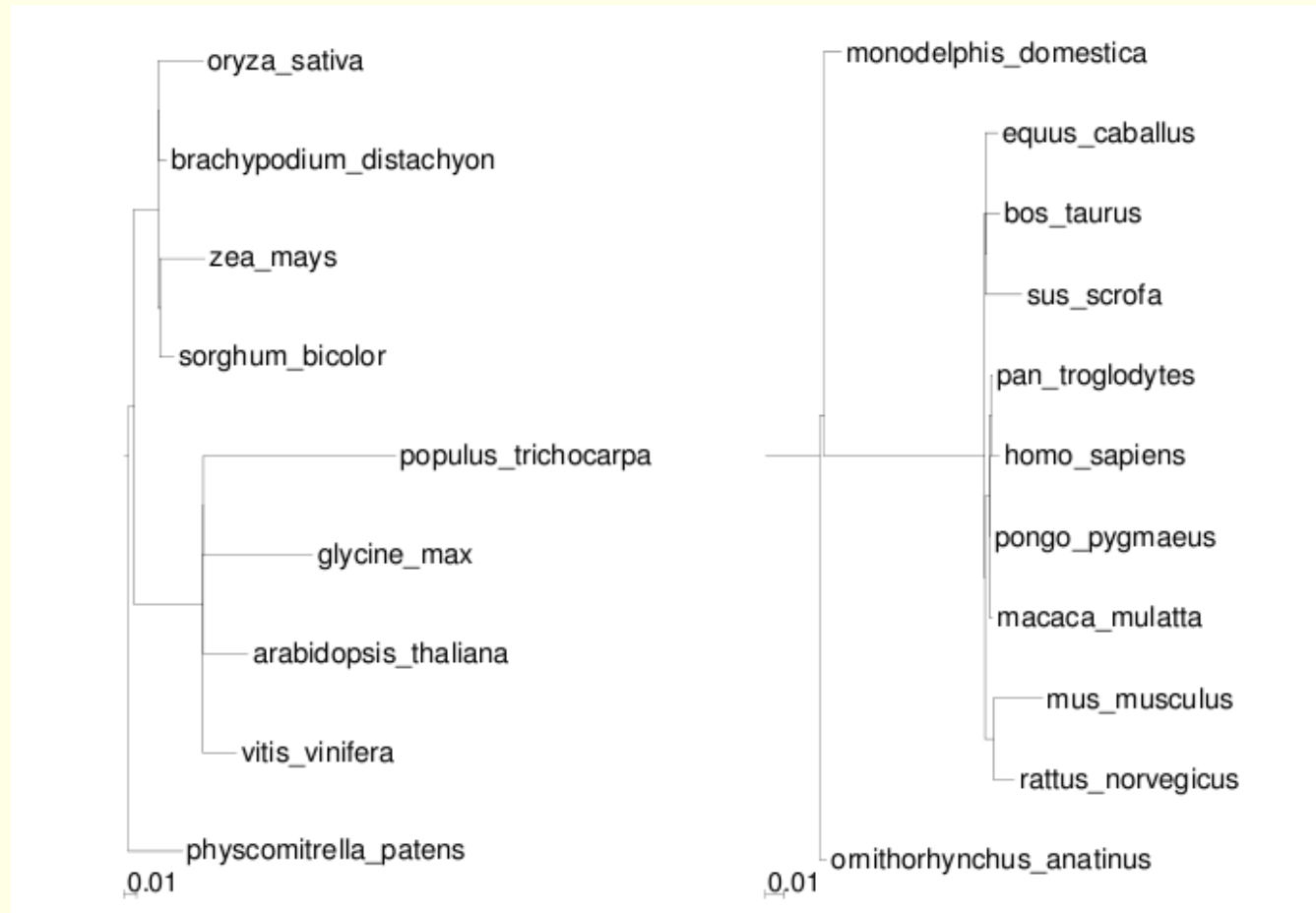
- À l'issue de tous les appels à DeCo on récupère plusieurs informations :
 - Les **adjacences ancestrales** par espèces
 - Les gènes qui se sont dupliqués ou perdus ensemble
 - Les arbres d'adjacences
 - Les degrés des gènes ancestraux (nombre de voisins)
 - Taille des arbres d'adjacences, nb d'arbres /classes, ...

-
- Introduction
 - Modèle
 - Démarche
 - Validation
 - Utilisation de DeCo pour l'assemblage : ARt-DeCo

-
- Deux jeux de données principaux : mammifères et plantes
 - Mammifères : 5039 arbres de gènes (Ensembl 57)
11 espèces dont les génomes étaient assemblés,
~ 107 000 gènes
 - Plantes (angiospermes) : 35 182 arbres (EnsemblPlant 12)
9 espèces dont les génomes étaient assemblés
 - Gros jeux de données plantes ~ 50 000 arbres, ~ 615 000 gènes
 - Temps de calcul moyen d'une dizaine de minutes (réconciliation comprise)



Pour avoir de meilleurs génomes ancestraux il faut à la fois de bons arbres et de bonnes méthodes d'inférences d'adjacences



- Clades des angiospermes et des mammifères : temps de divergence et nb d'espèces assemblées similaires
- Longueur de branches = $\# ADup / \#$ nb gènes ancestraux sur cette branche
- En moyenne les lg de branches sont 3 fois plus longues chez les plantes

Première méthode pour reconstruire l'évolution de relations
entres gènes

Première méthode pour reconstruire l'évolution de relations
entres gènes

- Modèle minimaliste mais **algorithme exact et rapide**

Première méthode pour reconstruire l'évolution de relations
entres gènes

- Modèle minimaliste mais **algorithme exact et rapide**
- Appliquée ici à la relation d'adjacence \Rightarrow donne accès à de l'information sur les **génomés ancestraux**

Première méthode pour reconstruire l'évolution de relations
entres gènes

- Modèle minimaliste mais **algorithme exact et rapide**
- Appliquée ici à la relation d'adjacence \Rightarrow donne accès à de l'information sur les **génomés ancestraux**
- Peut facilement être étendu à d'autres type de relations : interactions protéines-protéines, présence dans une même voie métabolique, co-expression, ...

- [DeCoLT](#) Lateral gene transfer, rearrangement, reconciliation *Murray Patterson, Gergely Szöllősi, Vincent Daubin et Eric Tannier*. BMC Bioinformatics 2013, 14(Suppl 15):S4

- **DeCoLT** Lateral gene transfer, rearrangement, reconciliation *Murray Patterson, Gergely Szöllősi, Vincent Daubin et Eric Tannier*. BMC Bioinformatics 2013, 14(Suppl 15):S4
- Thèse **Magali Semeria** (LBBE - Lyon) *sept 2012 → dec 2015*
Modèle probabiliste pour l'évolution des relations entre gènes
Encadrement : *Laurent Guéguen et Éric Tannier*

- **DeCoLT** Lateral gene transfer, rearrangement, reconciliation *Murray Patterson, Gergely Szöllősi, Vincent Daubin et Eric Tannier*. BMC Bioinformatics 2013, 14(Suppl 15):S4
- Thèse **Magali Semeria** (LBBE - Lyon) *sept 2012 → dec 2015*
Modèle probabiliste pour l'évolution des relations entre gènes
Encadrement : *Laurent Guéguen et Éric Tannier*
- Thèse **Yoann Anselmetti** (ISE-M - Montpellier) *oct 2014 → 17*
Assemblage et évolution de la structure de génomes anciens et actuels
Encadrement : *Sèverine Bérard et Éric Tannier*

- **DeCoLT** Lateral gene transfer, rearrangement, reconciliation *Murray Patterson, Gergely Szöllősi, Vincent Daubin et Eric Tannier*. BMC Bioinformatics 2013, 14(Suppl 15):S4
- Thèse **Magali Semeria** (LBBE - Lyon) *sept 2012 → dec 2015*
Modèle probabiliste pour l'évolution des relations entre gènes
Encadrement : *Laurent Guéguen et Éric Tannier*
- Thèse **Yoann Anselmetti** (ISE-M - Montpellier) *oct 2014 → 17*
Assemblage et évolution de la structure de génomes anciens et actuels
Encadrement : *Sèverine Bérard et Éric Tannier*

→ Première idée : Prise en compte de l'état d'assemblage des génomes pour moins pénaliser les cassures d'adjacences aux feuilles des génomes mal/peu assemblés

- **DeCoLT** Lateral gene transfer, rearrangement, reconciliation *Murray Patterson, Gergely Szöllősi, Vincent Daubin et Eric Tannier*. BMC Bioinformatics 2013, 14(Suppl 15):S4
- Thèse **Magali Semeria** (LBBE - Lyon) *sept 2012 → dec 2015*
Modèle probabiliste pour l'évolution des relations entre gènes
Encadrement : *Laurent Guéguen et Éric Tannier*
- Thèse **Yoann Anselmetti** (ISE-M - Montpellier) *oct 2014 → 17*
Assemblage et évolution de la structure de génomes anciens et actuels
Encadrement : *Sèverine Bérard et Éric Tannier*

→ Première idée : Prise en compte de l'état d'assemblage des génomes pour moins pénaliser les cassures d'adjacences aux feuilles des génomes mal/peu assemblés

⇒ **ARt-DeCo**

- Introduction
- Modèle
- Démarche
- Validation
- Utilisation de DeCo pour l'assemblage : ARt-DeCo



Caenorhabditis_elegans 7
Drosophila_melanogaster 11
Monodelphis_domestica 11
Saccharomyces_cerevisiae 17
Gorilla_gorilla 27
Tetraodon_nigroviridis 27
Homo_sapiens 39
Mus_musculus 40
Bos_taurus 43
Pongo_abelii 53
Rattus_norvegicus 69
Taeniopygia_guttata 69
Equus_caballus 102
Chlorocebus_sabaeus 115
Felis_catus 213
Canis_familiaris 227
Pan_troglodytes 245
Ciona_savignyi 332
Papio_anubis 367
Cavia_porcellus 369
Danio_rerio 448
Lepisosteus_oculatus 494

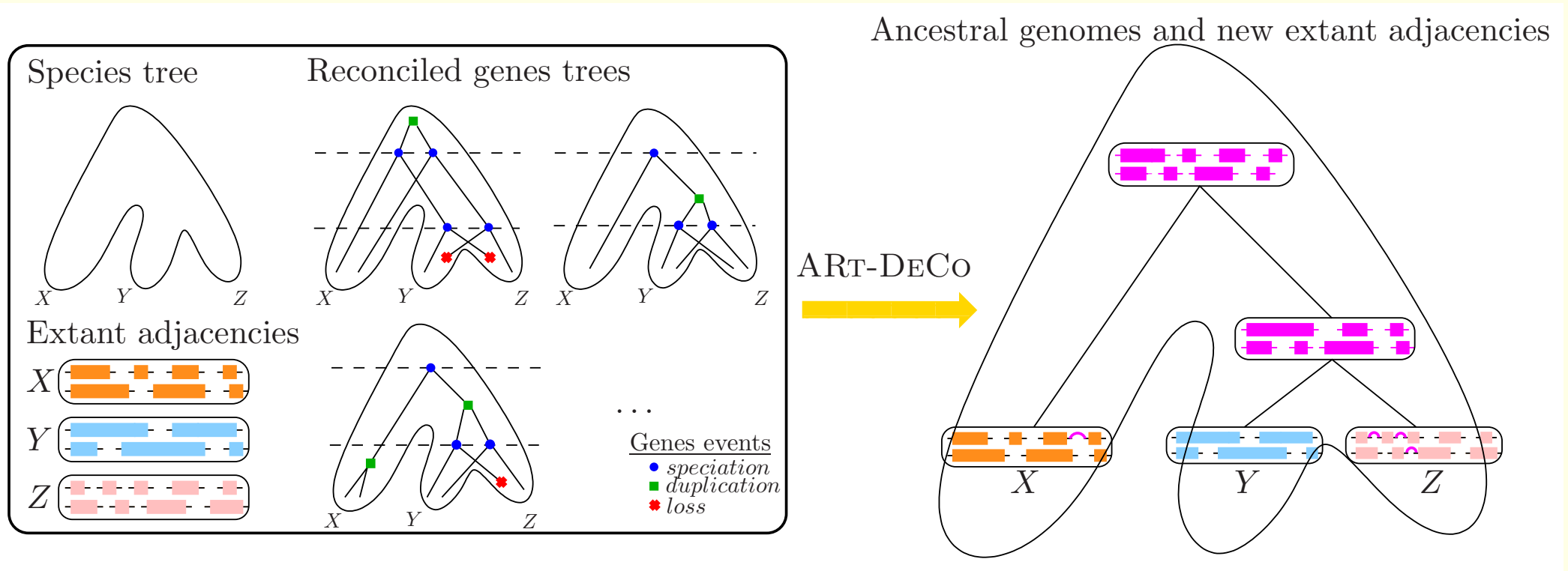
Otolemur_garnettii 523
Gasterosteus_aculeatus 550
Loxodonta_africana 583
Ciona_intestinalis 614
Meleagris_gallopavo 631
Ovis_aries 638
Callithrix_jacchus 653
Nomascus_leucogenys 657
Macaca_mulatta 692
Mustela_putorius_furo 731
Ficedula_albicollis 757
Ictidomys_tridecemlineatus 761
Gallus_gallus 766
Oryzias_latipes 807
Oryctolagus_cuniculus 1043
Oreochromis_niloticus 1075
Sus_scrofa 1332
Poecilia_formosa 1504
Takifugu_rubripes 1923
Pelodiscus_sinensis 2162
Xenopus_tropicalis 2232
Anas_platyrhynchos 2338
Anolis_carolinensis 2376
Myotis_lucifugus 2393

Xiphophorus_maculatus 2445
Astyanax_mexicanus 2557
Ailuropoda_melanoleuca 2599
Sarcophilus_harrisii 3505
Latimeria_chalumnae 3948
Dasypus_novemcinctus 3958
Vicugna_pacos 4951
Gadus_morhua 5336
Petromyzon_marinus 5530
Tursiops_truncatus 5624
Pteropus_vampyrus 6328
Microcebus_murinus 6837
Ochotona_princeps 7324
Tupaia_belangeri 8121
Dipodomys_ordii 9720
Sorex_araneus 9740
Ornithorhynchus_anatinus 10158
Procavia_capensis 10465
Choloepus_hoffmanni 10770
Tarsius_syrichta 11528
Erinaceus_europaeus 11536
Echinops_telfairi 12301
Macropus_eugenii 12704

-
- S'aider des informations phylogénétiques et des adjacences de gènes pour faire le “scaffolding” des espèces actuelles et ancestrales **en même temps**

-
- S'aider des informations phylogénétiques et des adjacences de gènes pour faire le “scaffolding” des espèces actuelles et ancestrales **en même temps**
 - C'est l'idée d'ARt-DeCo (Assembly Recovery through DeCo)

-
- S'aider des informations phylogénétiques et des adjacences de gènes pour faire le “scaffolding” des espèces actuelles et ancestrales **en même temps**
 - C'est l'idée d'ARt-DeCo (Assembly Recovery through DeCo)
 - Travaux antérieurs apparentés :
 - treecat (Husemann & Stoye, Algorithm for Molecular Biology, 2010)
 - RACA (Kim *et al.*, PNAS, 2013)
 - Aganezov *et al.*, Computational Biology and Chemistry, 2015



- Fragmentation simulée sur 7 tétrapodes, sans duplications
 - Famille de gènes universels uni-copie
 - On retrouve 84 – 93 % des cassures simulées
 - Faible taux de faux positifs (~ 1.5 %)

- Fragmentation simulée sur 7 tétrapodes, sans duplications
 - Famille de gènes universels uni-copie
 - On retrouve 84 – 93 % des cassures simulées
 - Faible taux de faux positifs (~ 1.5 %)
- Réduction de la fragmentation (69 eucaryotes)

- Fragmentation simulée sur 7 tétrapodes, sans duplications
 - Famille de gènes universels uni-copie
 - On retrouve 84 – 93 % des cassures simulées
 - Faible taux de faux positifs (~ 1.5 %)
- Réduction de la fragmentation (69 eucaryotes)
 - Chez les génomes actuels :
 - Macropus_eugenii 12,704 contigs → 3,877 new adj
 - Microcebus_murinus 6,837 contigs → 1,945 new adj
 - Ailuropoda_melanoleuca 2,599 contigs → 747 new adj
 - Loxodonta_africana 583 contigs → 23 new adj
 - Ciona_savignyi 332 contigs → 0 new adj
 - Mus_musculus 40 contigs → 1 new adj

- Fragmentation simulée sur 7 tétrapodes, sans duplications
 - Famille de gènes universels uni-copie
 - On retrouve 84 – 93 % des cassures simulées
 - Faible taux de faux positifs (~ 1.5 %)
- Réduction de la fragmentation (69 eucaryotes)
 - Chez les génomes actuels :
 - Macropus_eugenii 12,704 contigs → 3,877 new adj
 - Microcebus_murinus 6,837 contigs → 1,945 new adj
 - Ailuropoda_melanoleuca 2,599 contigs → 747 new adj
 - Loxodonta_africana 583 contigs → 23 new adj
 - Ciona_savignyi 332 contigs → 0 new adj
 - Mus_musculus 40 contigs → 1 new adj
 - Analyse de potentielles nouvelles adjacences

-
- Fonction objectif : minimiser $\#(\triangle, \text{⚡})$
 - $c_0(g_1, g_2)$: Minimum cost where genes g_1 and g_2 are not adjacent
 - $c_1(g_1, g_2)$: Minimum cost where genes g_1 and g_2 are adjacent

- Fonction objectif : minimiser $\#(\triangle, \text{⚡})$
- $c_0(g_1, g_2)$: Minimum cost where genes g_1 and g_2 are not adjacent
- $c_1(g_1, g_2)$: Minimum cost where genes g_1 and g_2 are adjacent
- Équations de programmation dynamique

Cas 1 $E(g_1) = \text{Extant}$ and $E(g_2) = \text{Extant}$

Cas 2 $E(g_1) = \text{⊕}$ and $E(g_2) \neq \text{⊕}$

Cas 3 $E(g_1) = \text{⊕}$ and $E(g_2) = \text{⊕}$

Cas 4 $E(g_1) = \{\text{Extant}, \bullet\}$ and $E(g_2) = \blacksquare$

Cas 5 $E(g_1) = \bullet$ and $E(g_2) = \bullet$

Cas 6 $E(g_1) = \blacksquare$ and $E(g_2) = \blacksquare$

Evolutionary events :

- Speciation
- Gene duplication
- ⊕ Gene loss
- ⚡ Adjacency break
- ▲ Adjacency gain

-
- Modification **Cas 1**

- Modification **Cas 1**

$$\rightarrow \text{DeCo} : \begin{cases} \text{si } g_1 \sim g_2 & c_1(g_1, g_2) = 0 & \text{et } c_0(g_1, g_2) = \infty \\ \text{sinon} & c_0(g_1, g_2) = 0 & \text{et } c_1(g_1, g_2) = \infty \end{cases}$$

- Modification **Cas 1**

$$\rightarrow \text{DeCo} : \begin{cases} \text{si } g_1 \sim g_2 & c_1(g_1, g_2) = 0 & \text{et } c_0(g_1, g_2) = \infty \\ \text{sinon} & c_0(g_1, g_2) = 0 & \text{et } c_1(g_1, g_2) = \infty \end{cases}$$

$$\rightarrow \text{ARt-DeCo} : \begin{cases} c_1(g_1, g_2) = -\log_b(P(g_1 \sim g_2)) \\ c_0(g_1, g_2) = -\log_b(1 - P(g_1 \sim g_2)) \end{cases}$$

où $P(g_1 \sim g_2)$ est la probabilité que $g_1 \sim g_2$

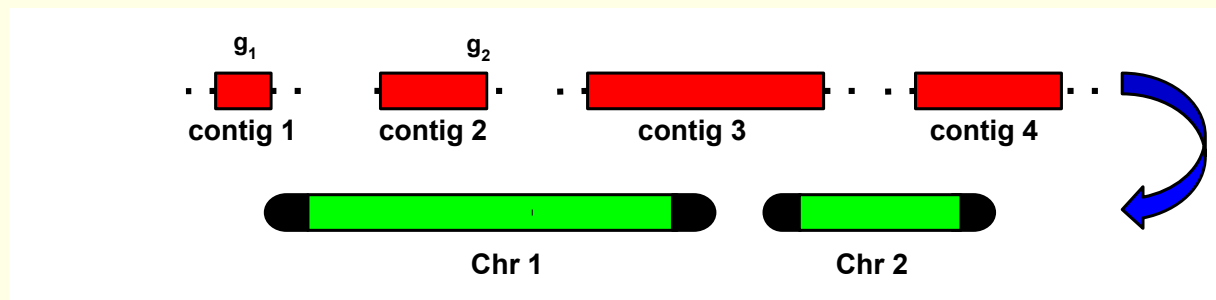
- Modification **Cas 1**

$$\rightarrow \text{DeCo} : \begin{cases} \text{si } g_1 \sim g_2 & c_1(g_1, g_2) = 0 \quad \text{et } c_0(g_1, g_2) = \infty \\ \text{sinon} & c_0(g_1, g_2) = 0 \quad \text{et } c_1(g_1, g_2) = \infty \end{cases}$$

$$\rightarrow \text{ARt-DeCo} : \begin{cases} c_1(g_1, g_2) = -\log_b(P(g_1 \sim g_2)) \\ c_0(g_1, g_2) = -\log_b(1 - P(g_1 \sim g_2)) \end{cases}$$

où $P(g_1 \sim g_2)$ est la probabilité que $g_1 \sim g_2$

- Calcul de $P(g_1 \sim g_2)$



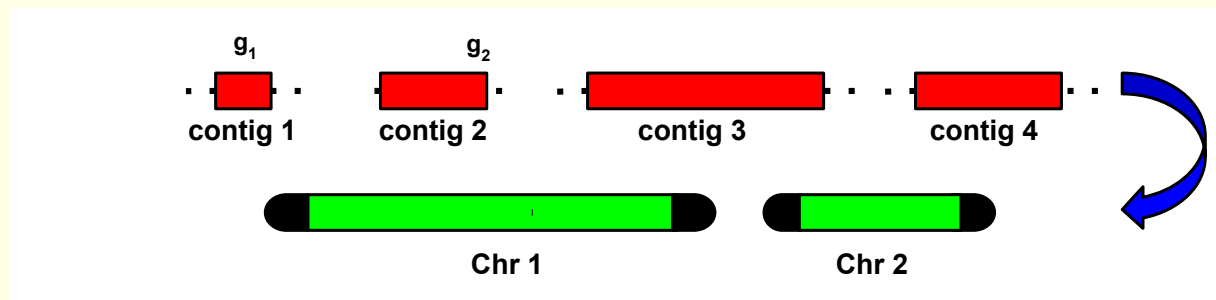
- Modification **Cas 1**

$$\rightarrow \text{DeCo} : \begin{cases} \text{si } g_1 \sim g_2 & c_1(g_1, g_2) = 0 & \text{et } c_0(g_1, g_2) = \infty \\ \text{sinon} & c_0(g_1, g_2) = 0 & \text{et } c_1(g_1, g_2) = \infty \end{cases}$$

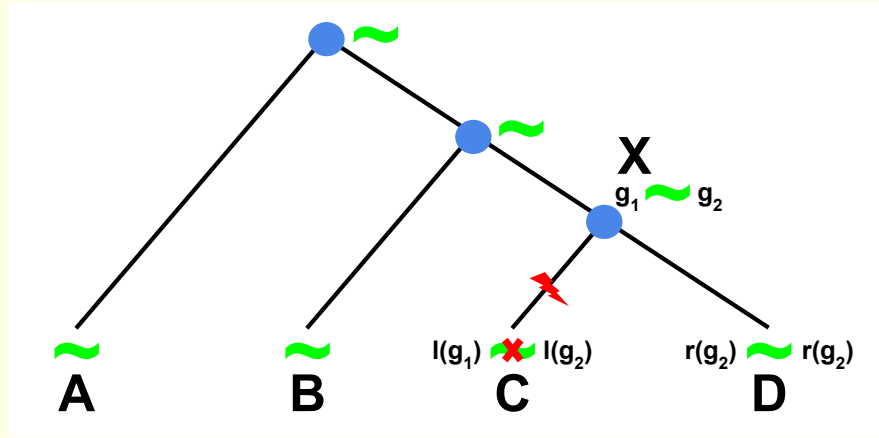
$$\rightarrow \text{ARt-DeCo} : \begin{cases} c_1(g_1, g_2) = -\log_b(P(g_1 \sim g_2)) \\ c_0(g_1, g_2) = -\log_b(1 - P(g_1 \sim g_2)) \end{cases}$$

où $P(g_1 \sim g_2)$ est la probabilité que $g_1 \sim g_2$

- Calcul de $P(g_1 \sim g_2)$

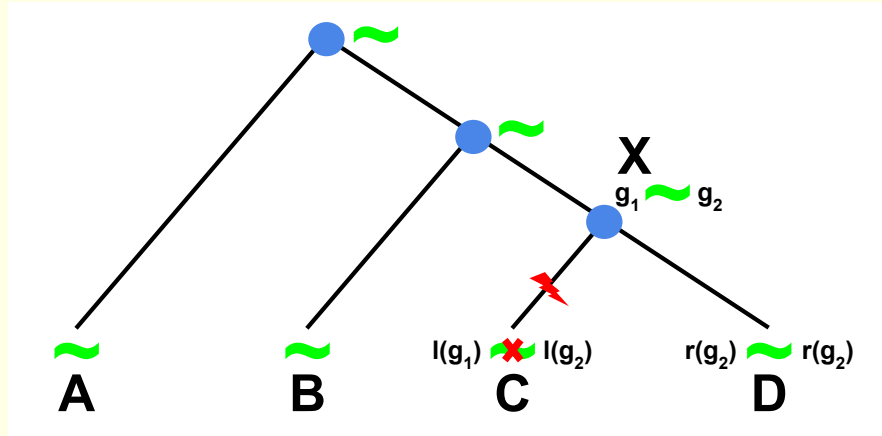


$$P(g_1 \sim g_2) = \frac{\# \text{ of complete scaffolding where } g_1 \sim g_2}{\text{Total } \# \text{ of complete scaffolding}} = \frac{24}{144} = \frac{1}{6}$$



$$Br = C(\text{⚡})$$

$$p = P(l(g_1) \sim l(g_2))$$



$$Br = C(\text{⚡})$$

$$p = P(l(g_1) \sim l(g_2))$$

Pour privilégier la prédiction d'une adjacence dans l'espèce **C** :

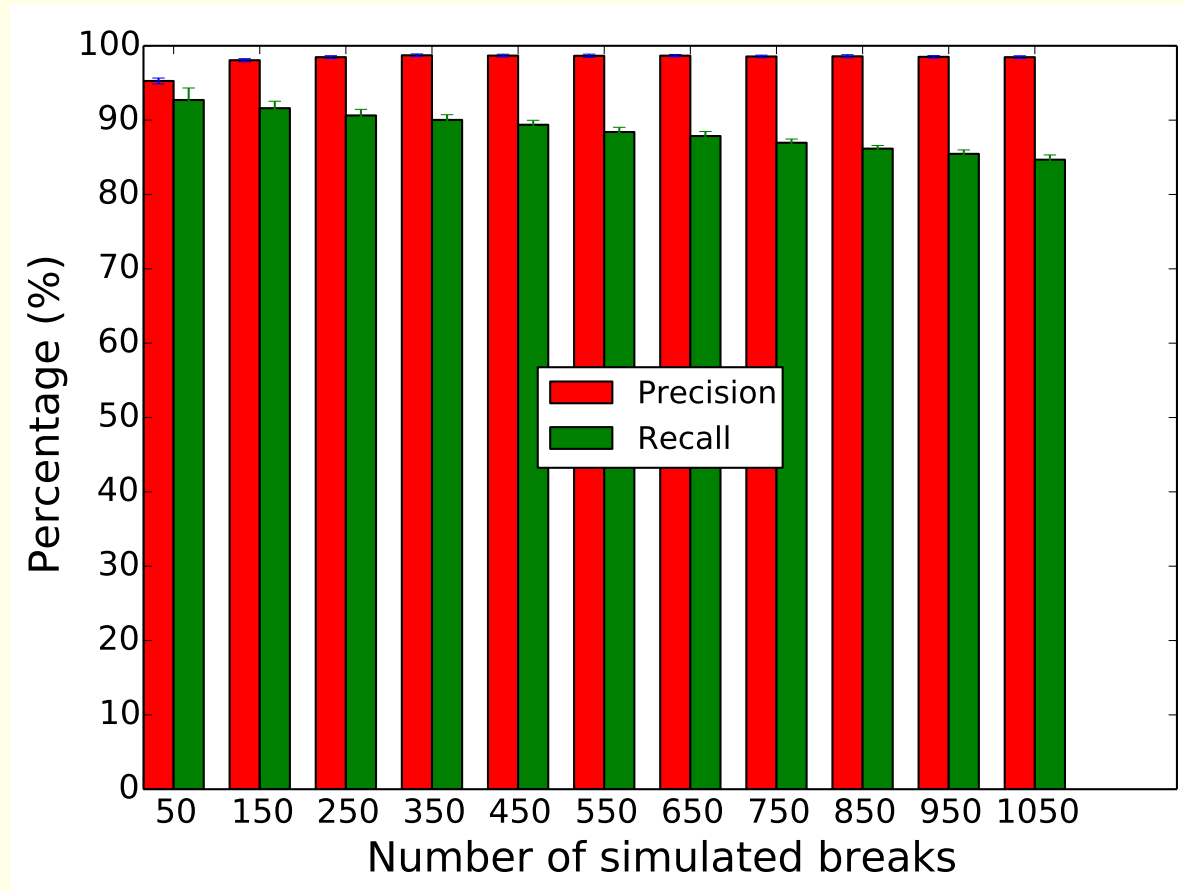
$$c_1(g_1, g_2) = \min \left\{ \begin{array}{l} (1) \quad c_1(l(g_1), l(g_2)) + c_1(r(g_1), r(g_2)) \\ (2) \quad c_1(l(g_1), l(g_2)) + c_0(r(g_1), r(g_2)) + C(\text{⚡}) \\ (3) \quad c_0(l(g_1), l(g_2)) + c_1(r(g_1), r(g_2)) + C(\text{⚡}) \\ (4) \quad c_0(l(g_1), l(g_2)) + c_0(r(g_1), r(g_2)) + 2 \times C(\text{⚡}) \end{array} \right.$$

- Jeu de donnée proche de celui d'Aganezov *et al.*, 2015
 - 7 tetrapods : Human, Chimpanzee, Macaque, Mouse, Rat, Dog and Chicken
 - 8,818 universal unicopy gene families
 - Run in $< 1 \text{ min}$ on computer desk

- Jeu de donnée proche de celui d'Aganezov *et al.*, 2015
 - 7 tetrapods : Human, Chimpanzee, Macaque, Mouse, Rat, Dog and Chicken
 - 8,818 universal unicopy gene families
 - Run in $< 1 \text{ min}$ on computer desk
- Experiment
 - Simulate breaks in each species (except on the outgroup species : Chicken)
 - Different number of breaks from 50 to 1050, by step of 100

$$Precision = \frac{TP}{TP+FP} = \frac{\# \text{ of true inferred adj}}{\# \text{ of inferred adj}}$$

$$Recall = \frac{TP}{TP+FN} = \frac{\# \text{ of true inferred adj}}{\# \text{ of simulated adj breaks}}$$



- Data set on Ensembl 79
 - 69 eucaryotes
 - 20,279 protein coding gene trees
 - 1,222,543 protein coding genes
 - Run in $\sim 18 h$ on computer desk

- Data set on Ensembl 79
 - 69 eucaryotes
 - 20,279 protein coding gene trees
 - 1,222,543 protein coding genes
 - Run in $\sim 18 h$ on computer desk
- Experiment
 - Run ARt-DeCo to predict new adjacencies in extant species
 - Analyze percentage of fragmentation reduction
 - Case study of potential new extant adjacencies

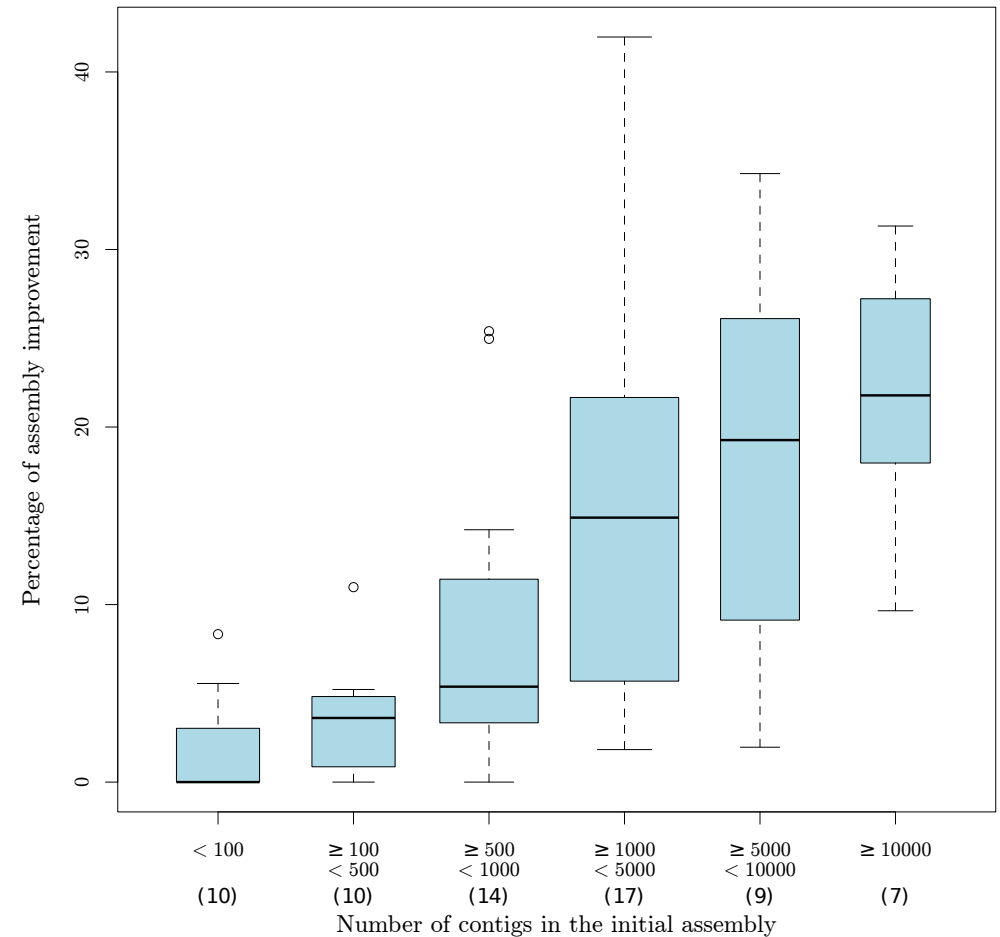
C_I = Initial nb of contigs

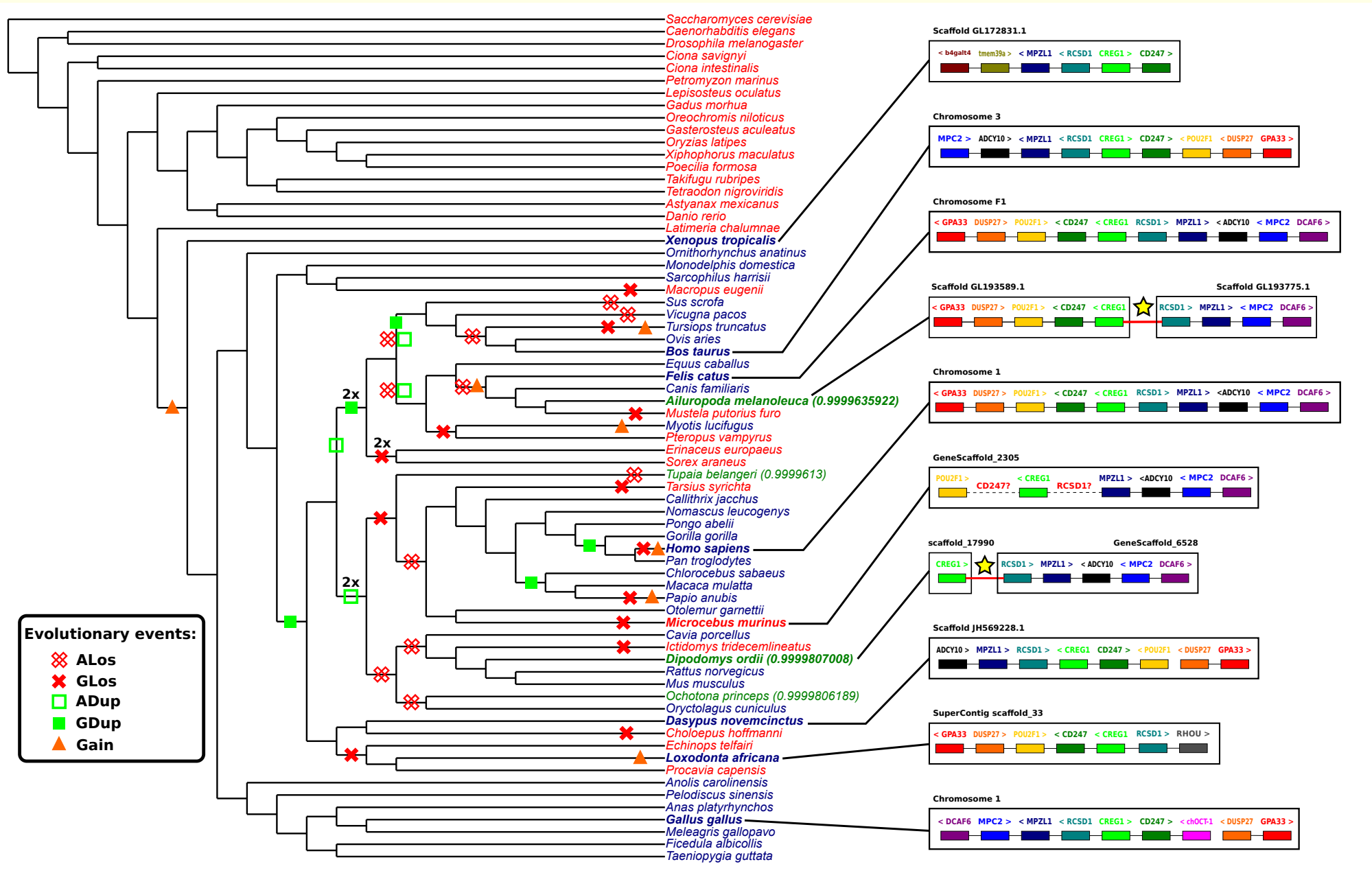
C_N = Final nb of scaffolds

p = Expected nb of chromosomes

% of assembly improvement :

$$\left(\frac{C_I - C_N}{C_I - p} \right) * 100$$





- Conclusion
 - Joint phylogenetic scaffolding of extant and ancestral genomes
 - Polynomial algorithm $O(n^2)$ per adjacency class
 - Gene order is still not completely resolved
- Perspectives
 - Joint sequence-based phylogenetic scaffolding of extant and ancestral species)

DeCo →

BIOINFORMATICS Vol. 28 ECCB 2012, pages i382–i388
doi:10.1093/bioinformatics/bts374

Evolution of gene neighborhoods within reconciled phylogenies
Sèverine Bérard^{1,2,*}, Coralie Gallien¹, Bastien Boussau^{3,4}, Gergely J. Szöllősi³, Vincent Daubin³ and Eric Tannier^{3,5,*}

ARt-DeCo →

Anselmetti et al. *BMC Genomics* 2015, **16**(Suppl 10):S11
<http://www.biomedcentral.com/1471-2164/16/S10/S11> 

RESEARCH **Open Access**

Ancestral gene synteny reconstruction improves extant species scaffolding
Yoann Anselmetti^{1,3}, Vincent Berry², Cedric Chauve⁵, Annie Chateau², Eric Tannier^{3,4}, Sèverine Bérard^{1,2*}

- Des parties de cette présentation sont issues des rapports de stage de Coralie Gallien et Pierre-Antoine Jean et de la présentation à RECOMB'CG 15 de Yoann Anselmetti
- Image réconciliation issue de <http://openi.nlm.nih.gov/>

